

## **Le microscope**

- Les éléments du microscope à fluorescence
- Le microscope (optique, le choix de l'objectif)
- La microscopie plein champ

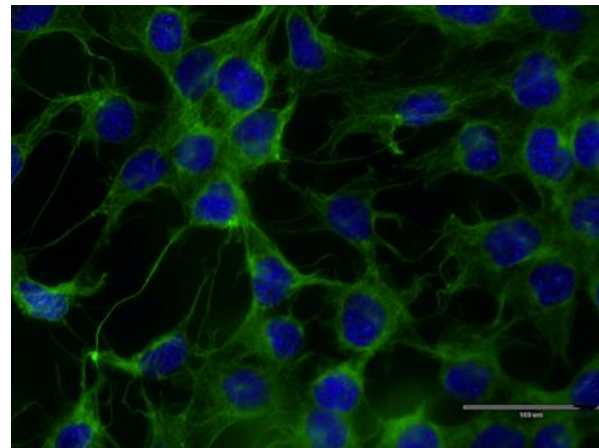
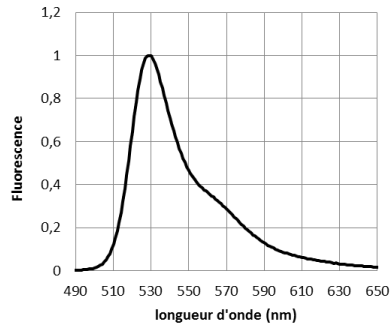
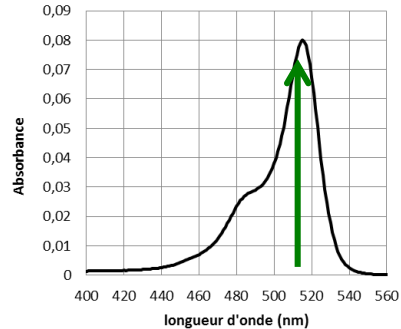
## **Amélioration de la résolution spatiale**

- Confocal (laser scanning, detection)
- Bi-photon
- TIRF
- Super-resolution

## **La spectroscopie sous microscope**

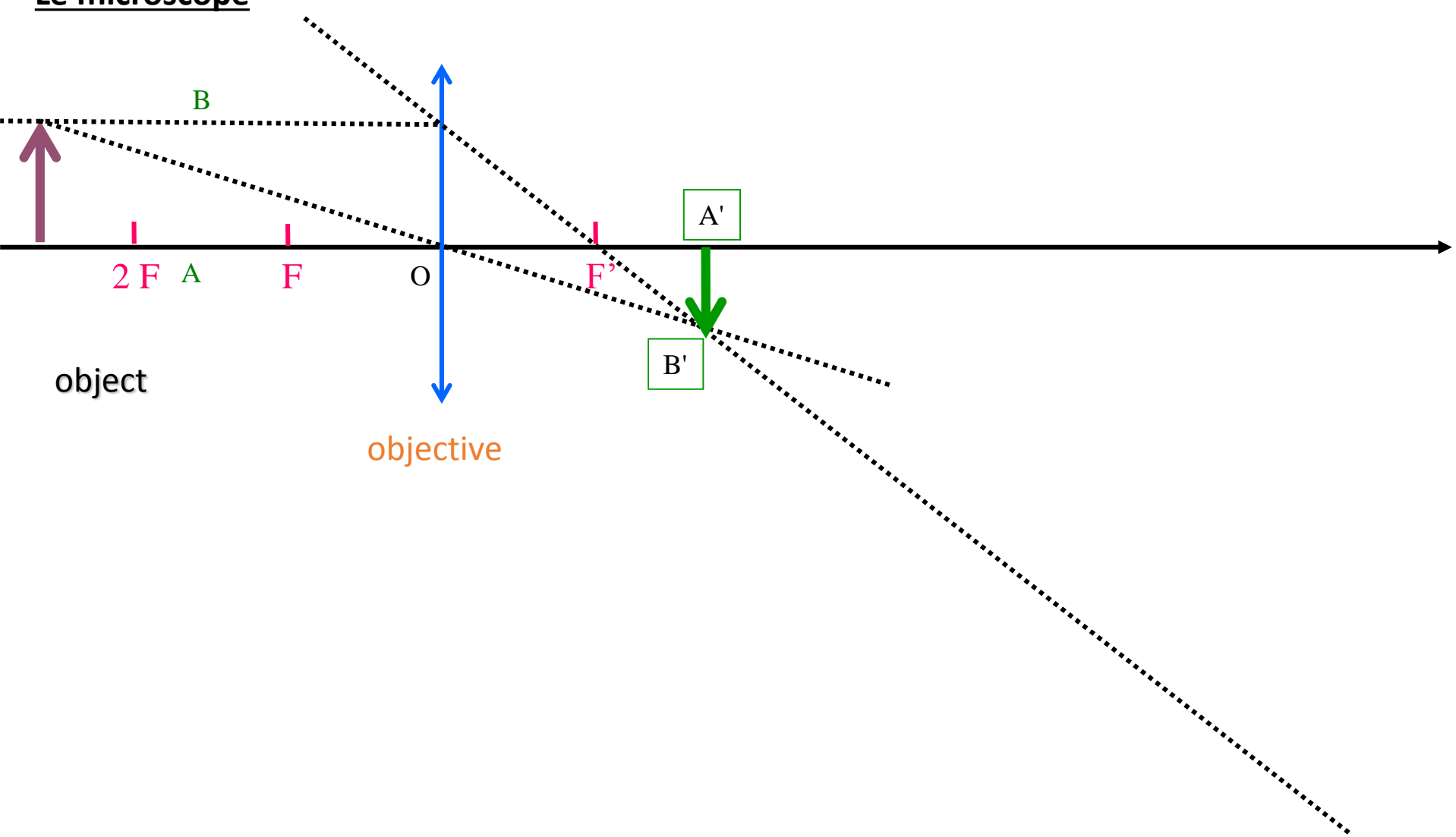
- FRET
- FLIM
- FCS, FCCS

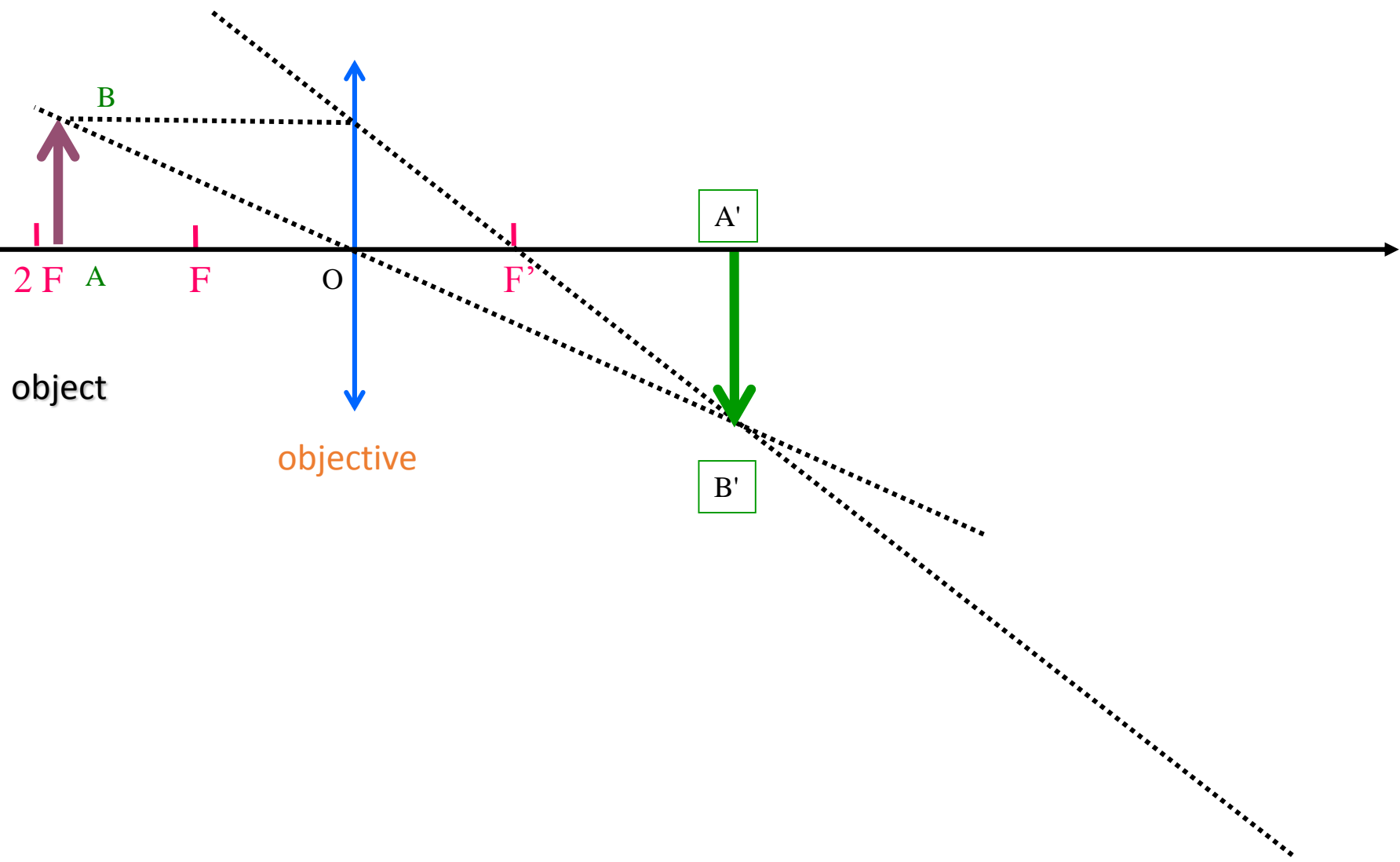
# Les éléments nécessaires

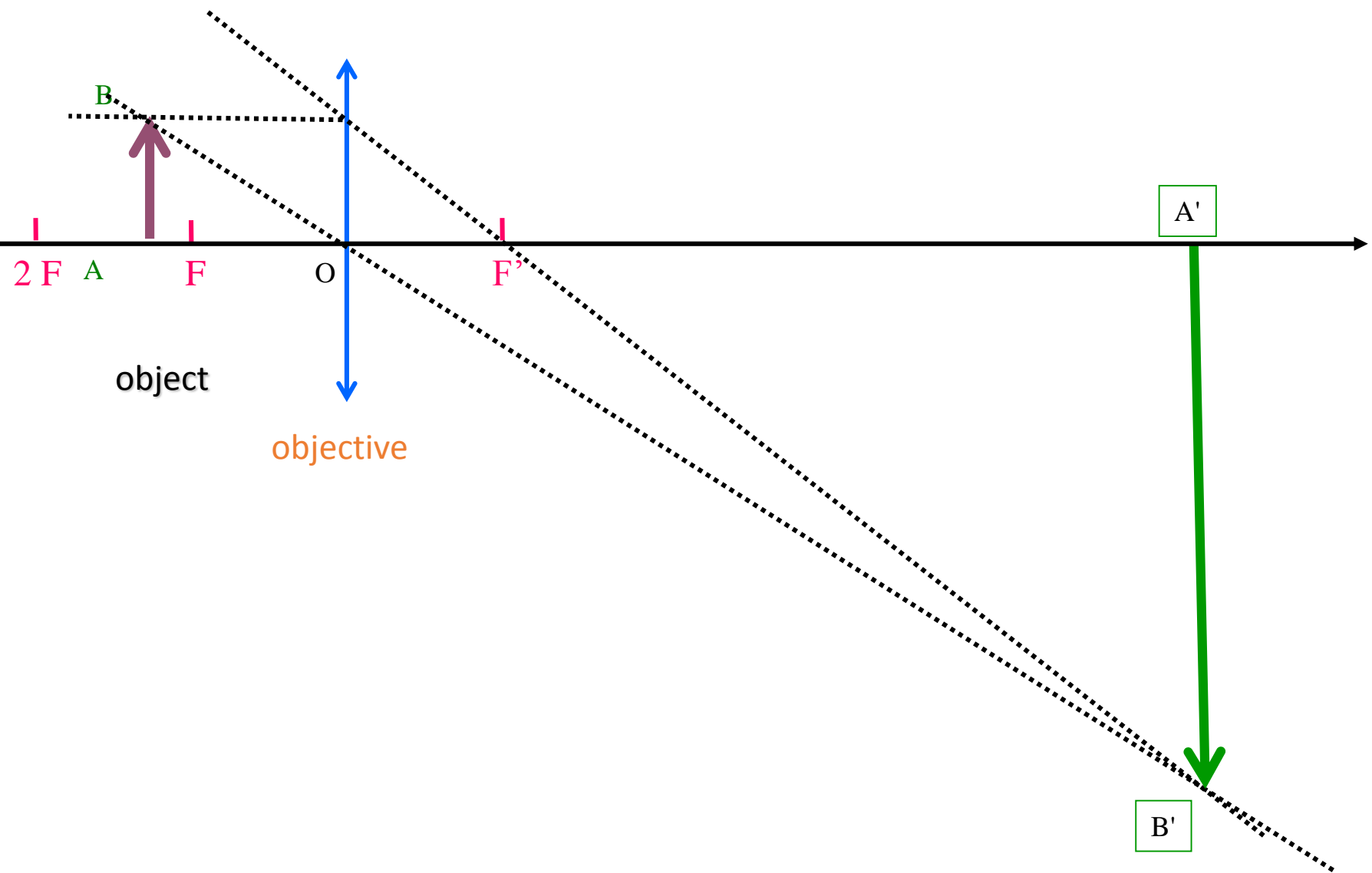


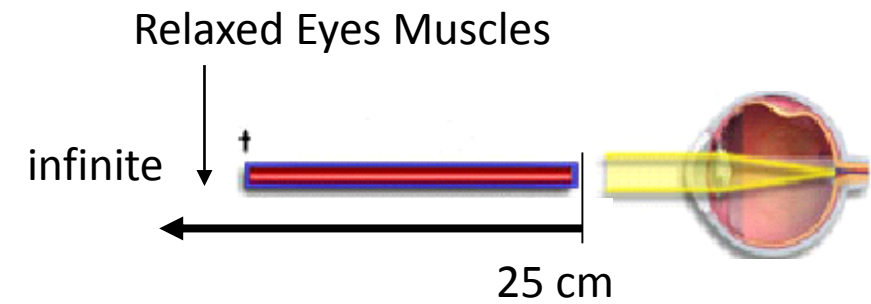
- Source de lumière d'excitation
- Un dispositif qui permet de choisir  $\lambda_{ex}$
- Un **système de transmission de la lumière d'excitation vers l'échantillon / de collection de la lumière d'émission**
- Un dispositif qui permet de choisir  $\lambda_{em}$
- DéTECTEUR

## Le microscope



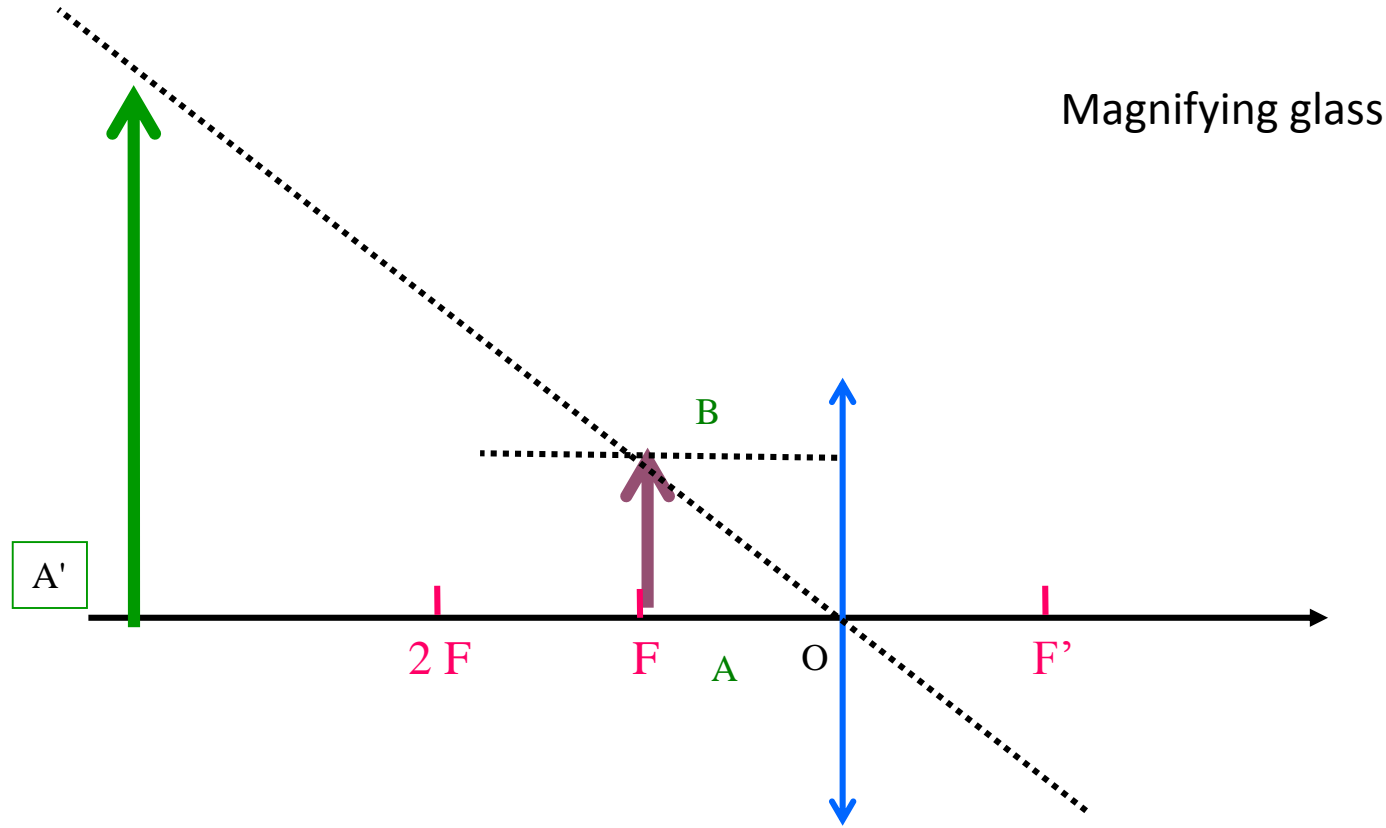




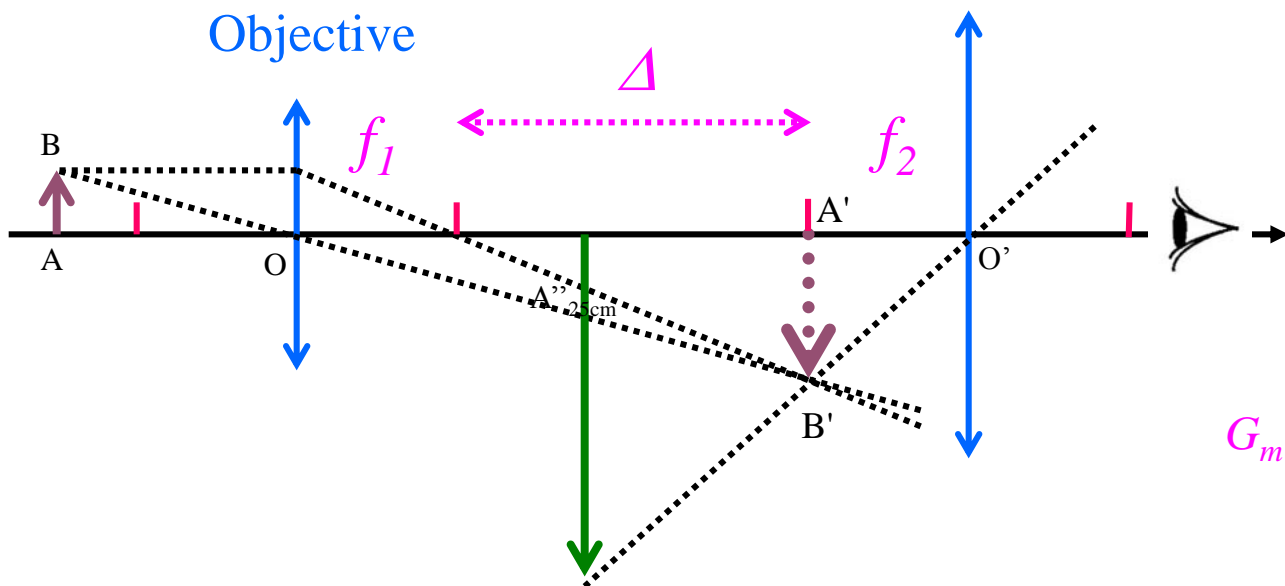


Accommodation of the eye refers to the act of adjusting the crystalline lens element to alter the refractive power and bring objects that are closer to the eye into sharp focus.

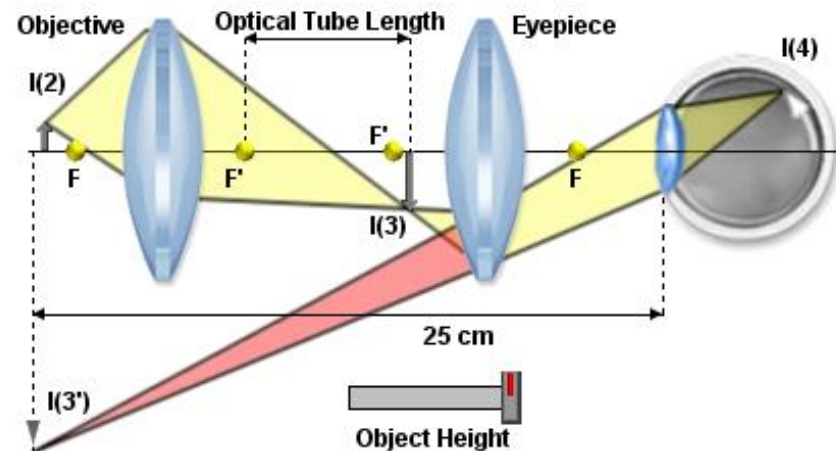
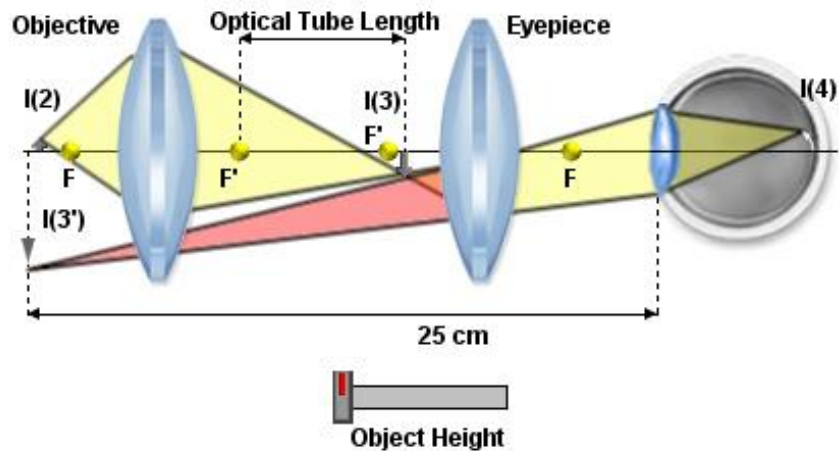
If the object is at the infinite, the eye won't accommodate



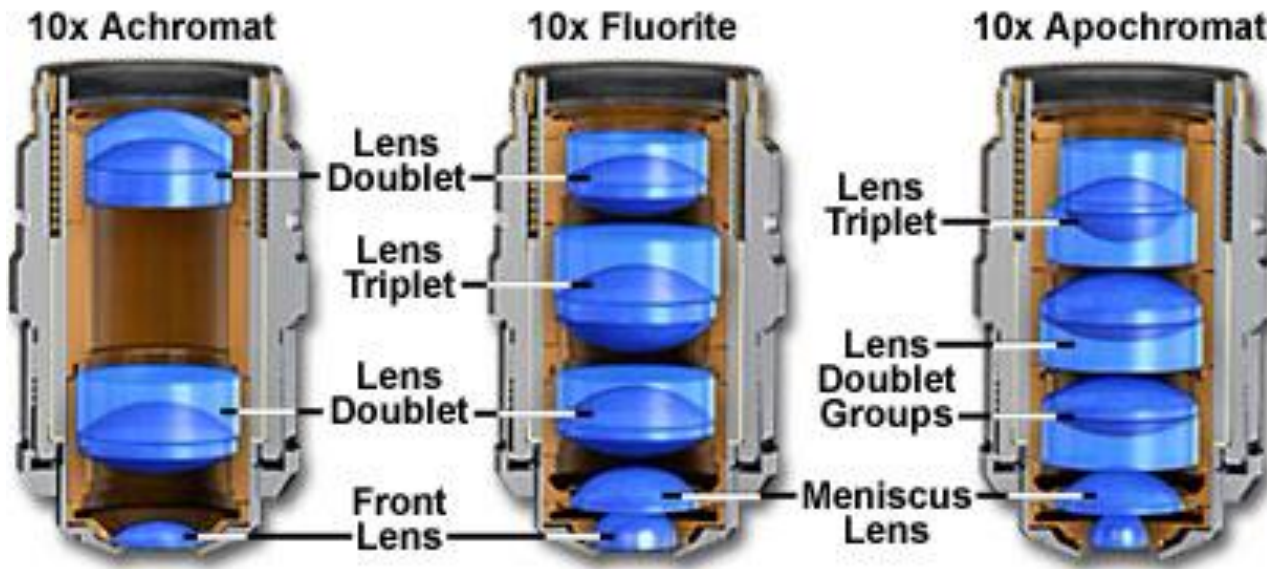
## Combination of two convex lenses



$$G_m = \frac{0.25}{f_2 f_1} \Delta$$



## Common Objective Optical Correction Factors



They are not simple convex lens!

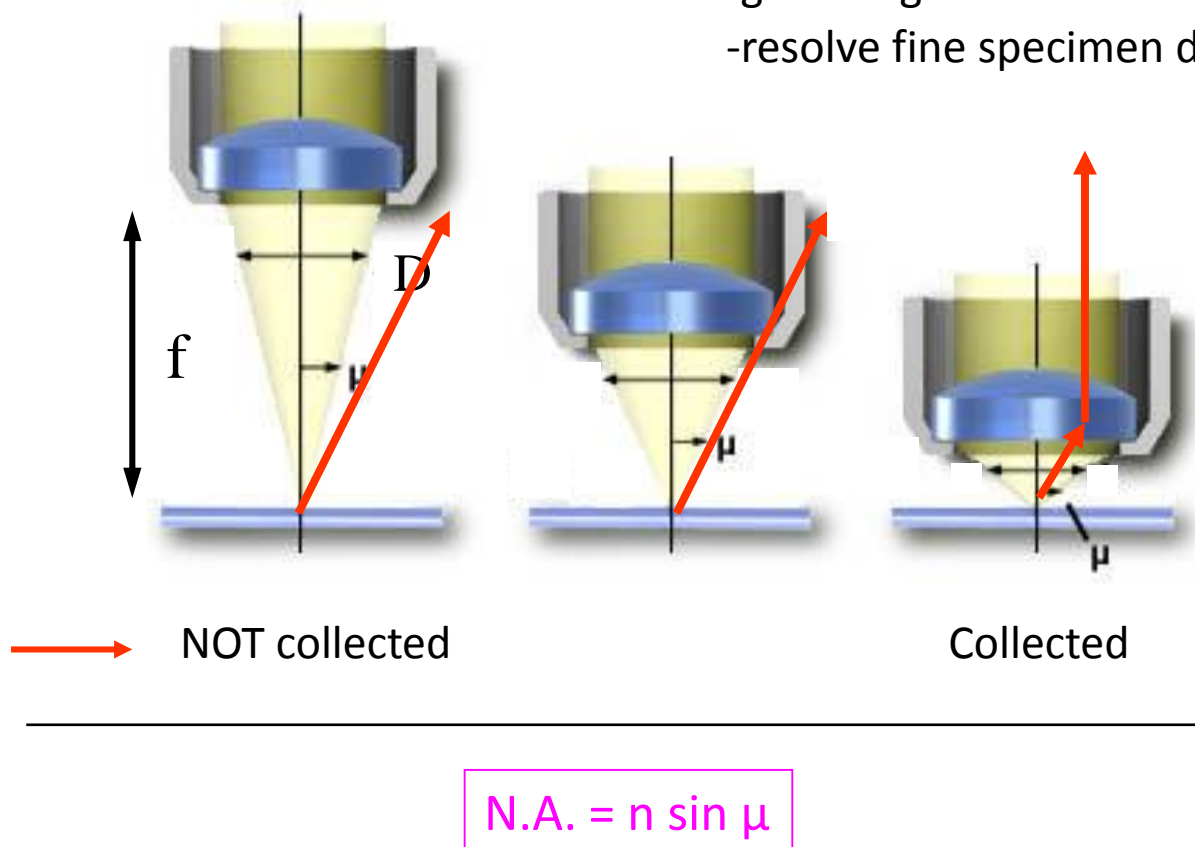
Key component of the optical system in the microscope

Correct the chromatic aberration

The most important characteristic of the microscope objective : numerical aperture or NA

N.A. measure the ability of the objective to=

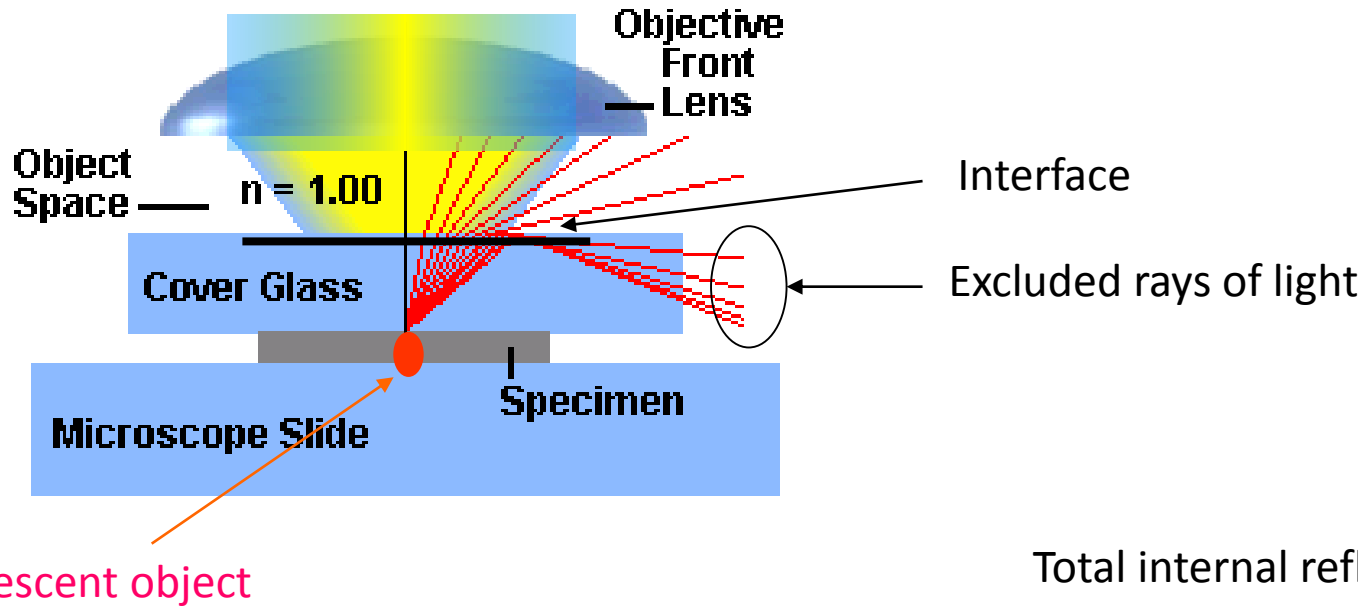
- gather light
- resolve fine specimen detail at a fixed object distance



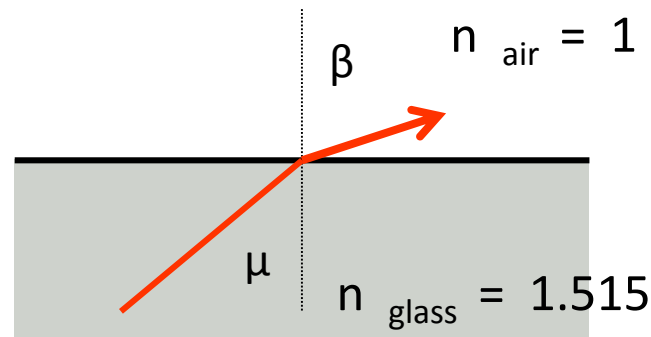
$$\begin{aligned}n_{\text{verre}} &= 1.515 \\n_{\text{glycérine}} &= 1.47 \\n_{\text{eau}} &= 1.33\end{aligned}$$

N.A increases  
(like magnification and amount of collected light)

$n$  is the refractive index of the media in the object space  
(between the cover glass and the objective front lens)

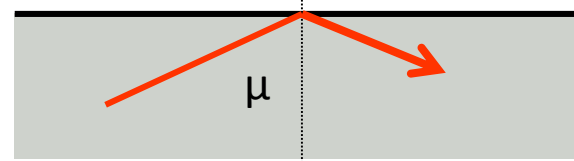


Total internal reflection

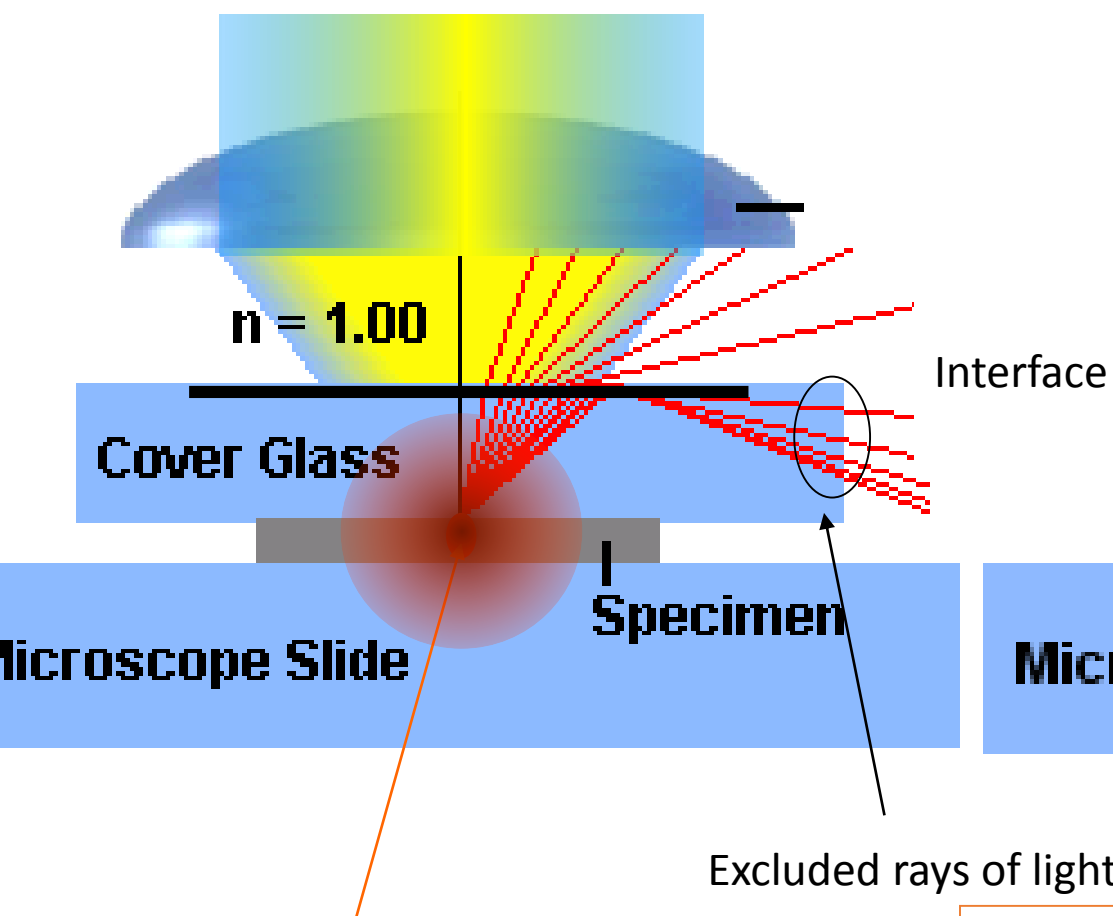


Interface

$$n_{\text{glass}} \sin \mu = n_{\text{air}} \sin \beta$$



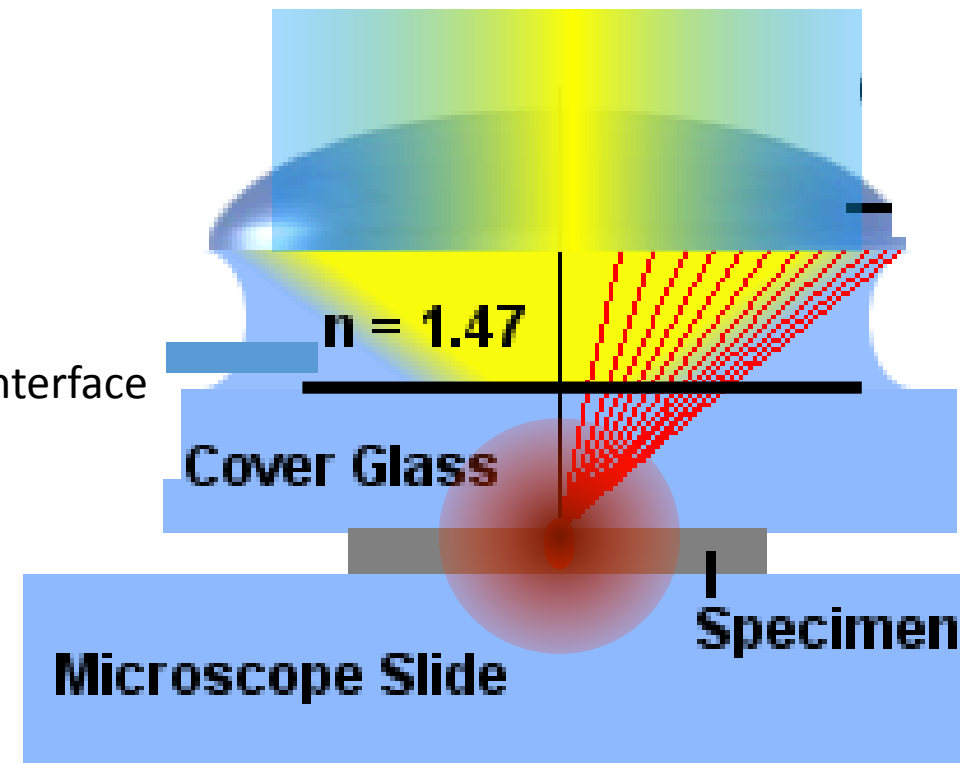
Collected cone angle =  $37^\circ$



Fluorescent object

Fluorescence emission is isotropic

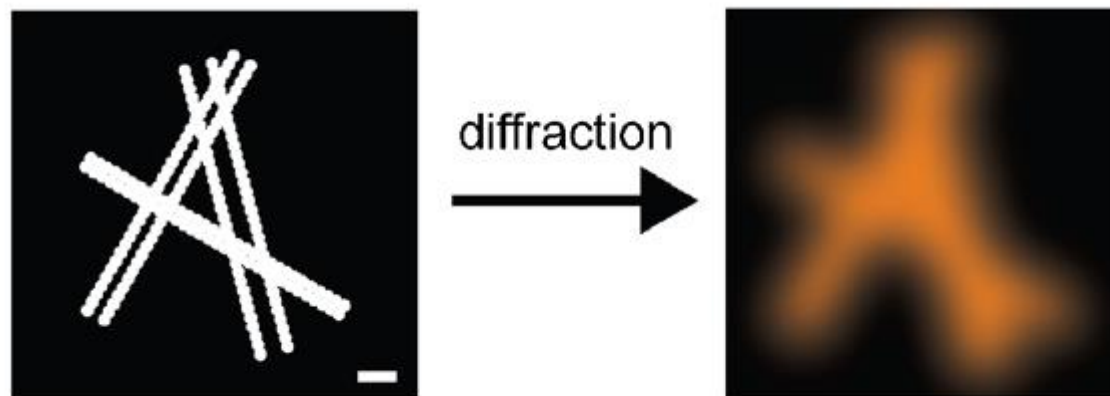
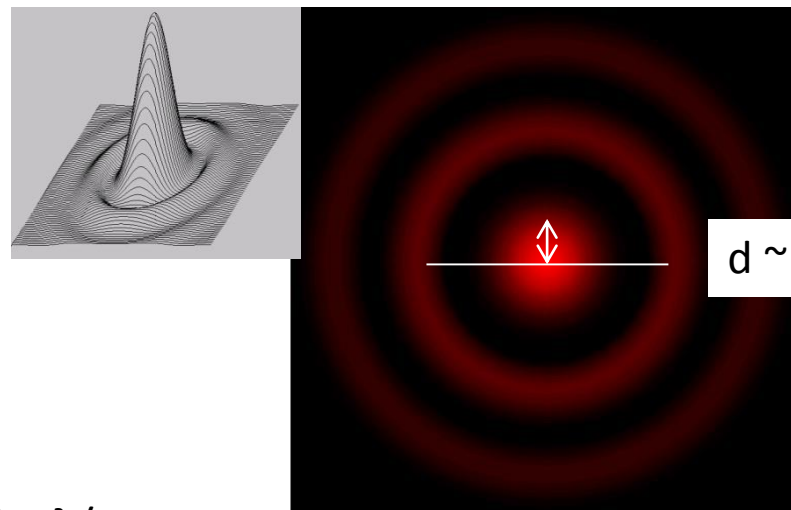
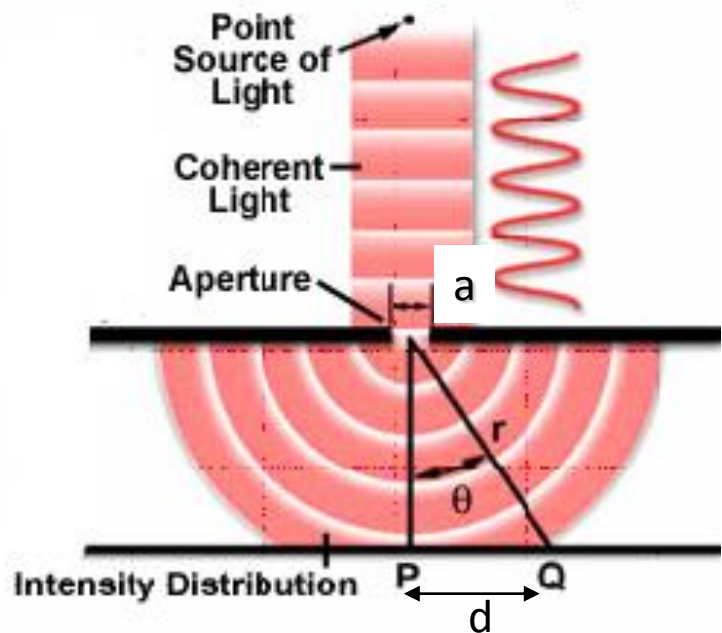
Collected cone angle =  $76^\circ$



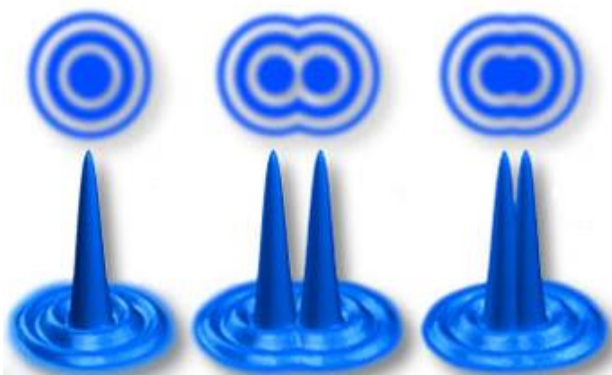
Immersion objective have an increased NA

NA is important for the resolution

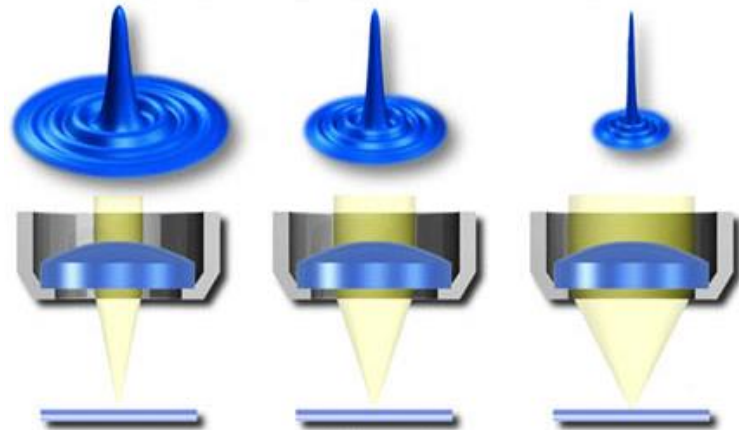
### Diffraction of Light Through an Aperture



NA is important for the resolution .....



resolution is the smallest resolvable distance between two objects



$$r_{\text{resolution}} = \frac{\lambda}{2 \text{ N.A.}} \quad \text{N.A.} = n \sin \mu$$

... and the depth of field

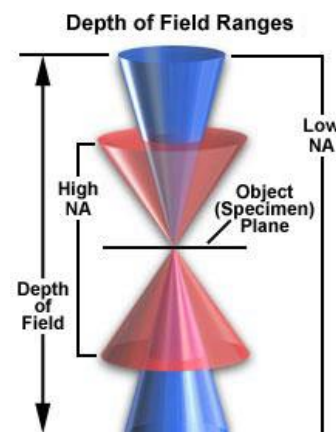
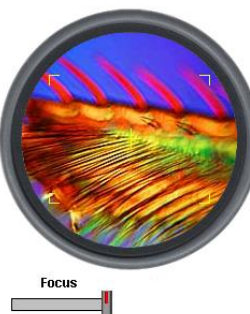
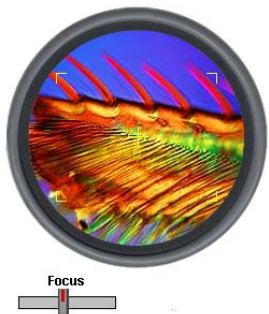
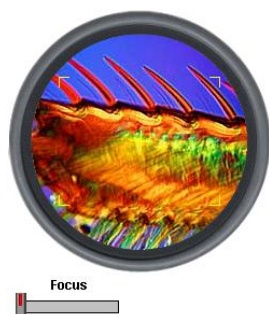
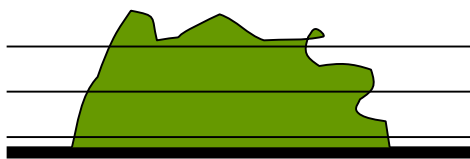


Figure 2

## **Le microscope**

- Les éléments du microscope à fluorescence
- Le microscope (optique, le choix de l'objectif)
- La microscopie plein champ

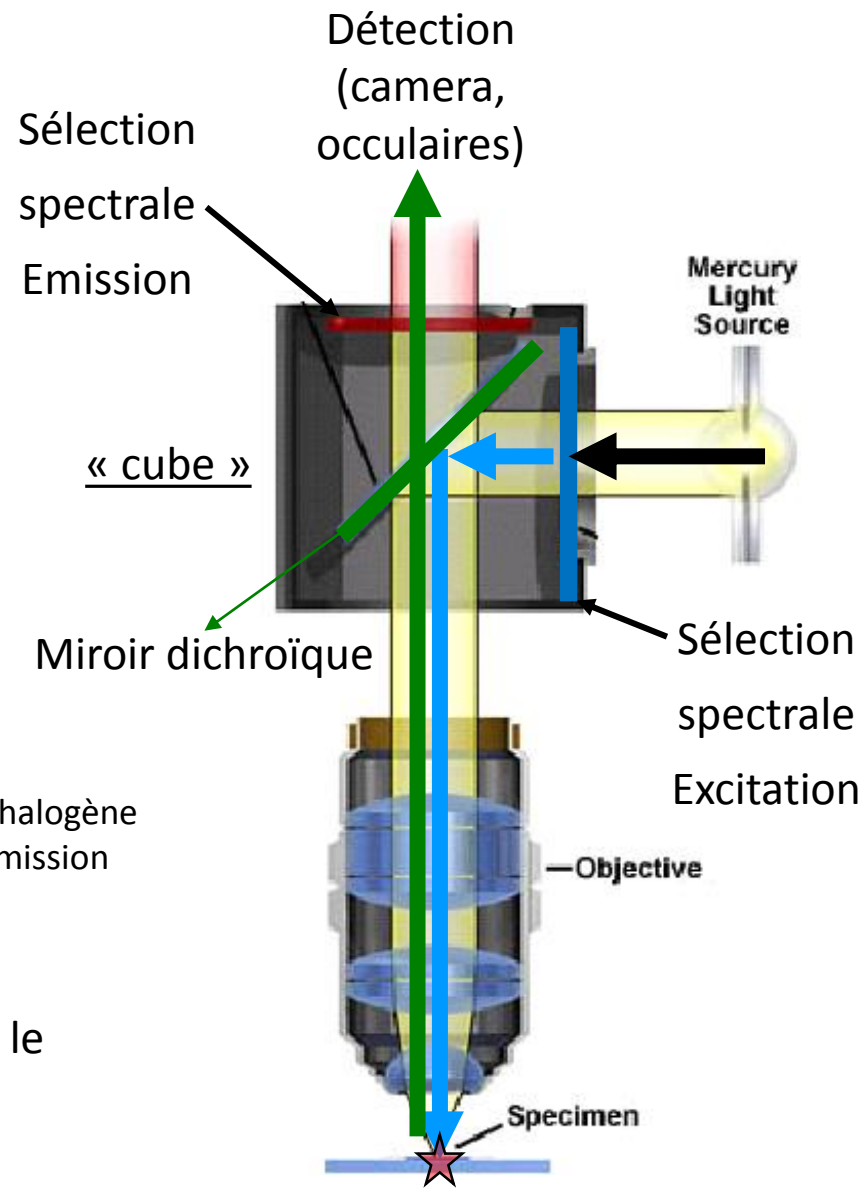
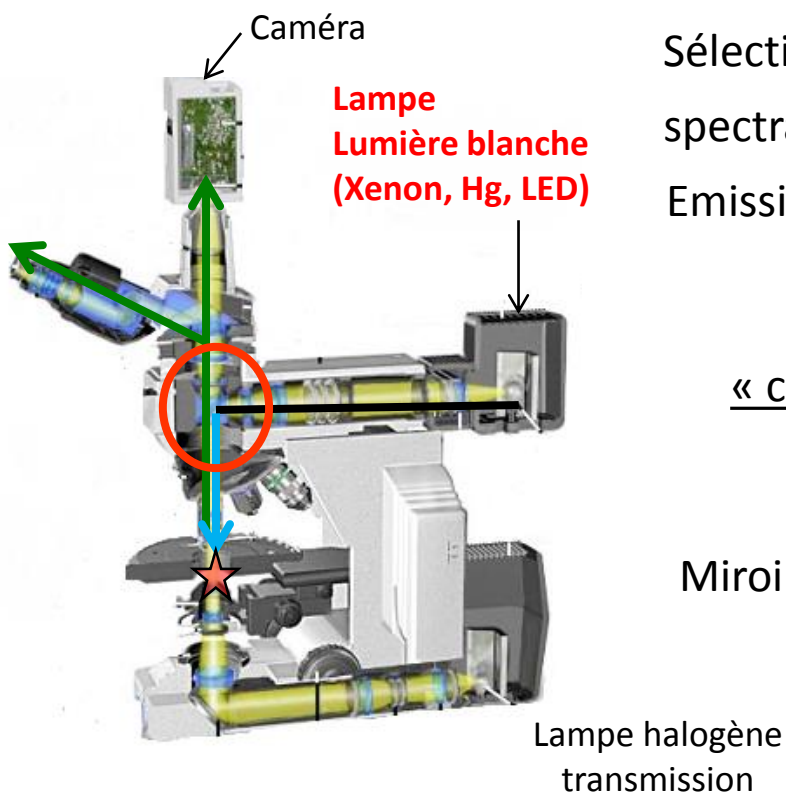
## **Amélioration de la résolution spatiale**

- Confocal (laser scanning, detection)
- Bi-photon
- TIRF
- Super-resolution

## **La spectroscopie sous microscope**

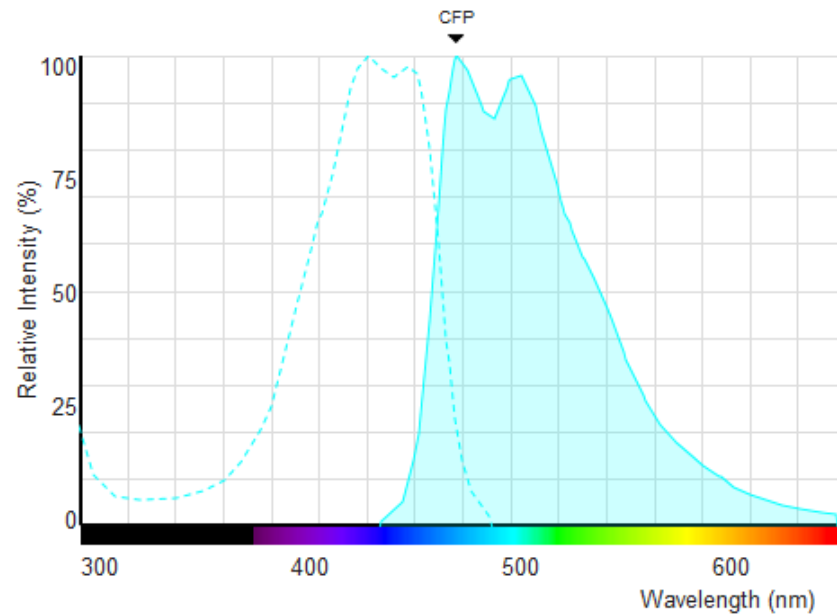
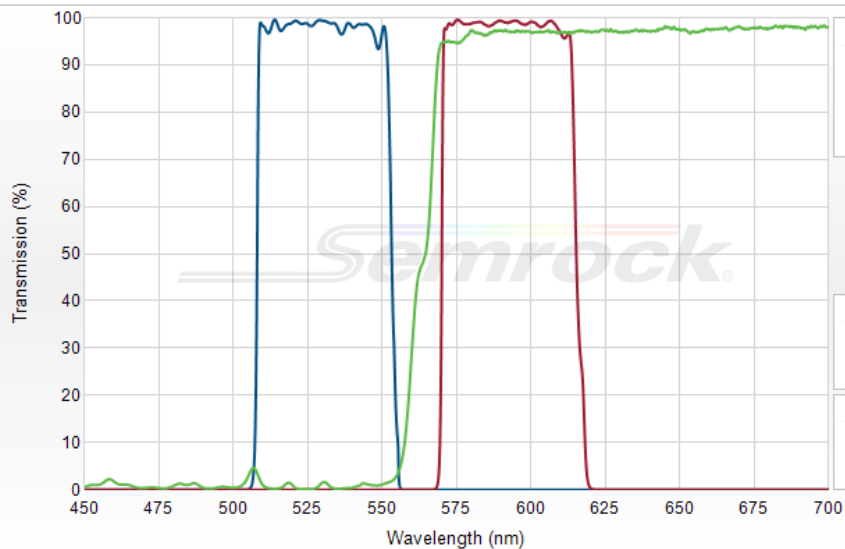
- FLIM
- FCS, FCCS
- FRAP et photoconversion

## Le cas plein champ

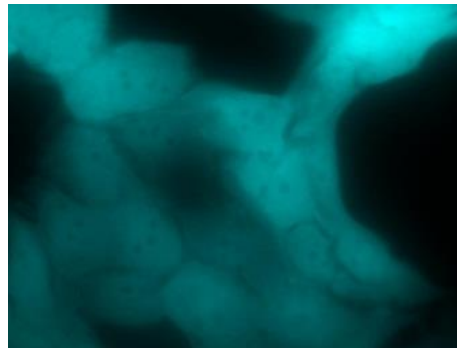


- Microscope droit ou inversé
- Excitation et collecte de la fluorescence sur le même chemin optique = epifluorescence

# Quelle combinaison de filtre faut il choisir pour observer de la ECFP exprimée par des cellules eucaryotes?



Ce qu'on voit aux oculaires:

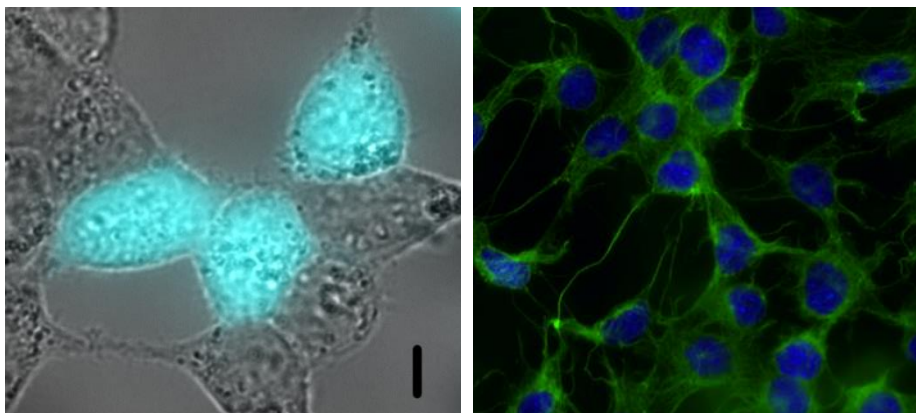


Ce qu'on voit à la caméra:

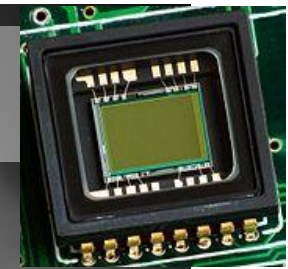


Niveaux de gris du  
blanc (bcp de  
photons) au noir  
(pas de photons)

Ce qu'on peut faire en  
traitant les images:

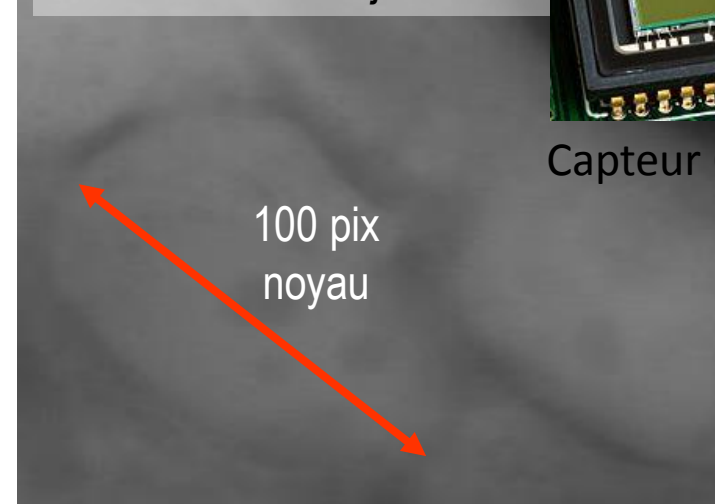


1 pix =  $6,45 \times 6,45 \mu\text{m}$ ,  
Grossissement objectif x60

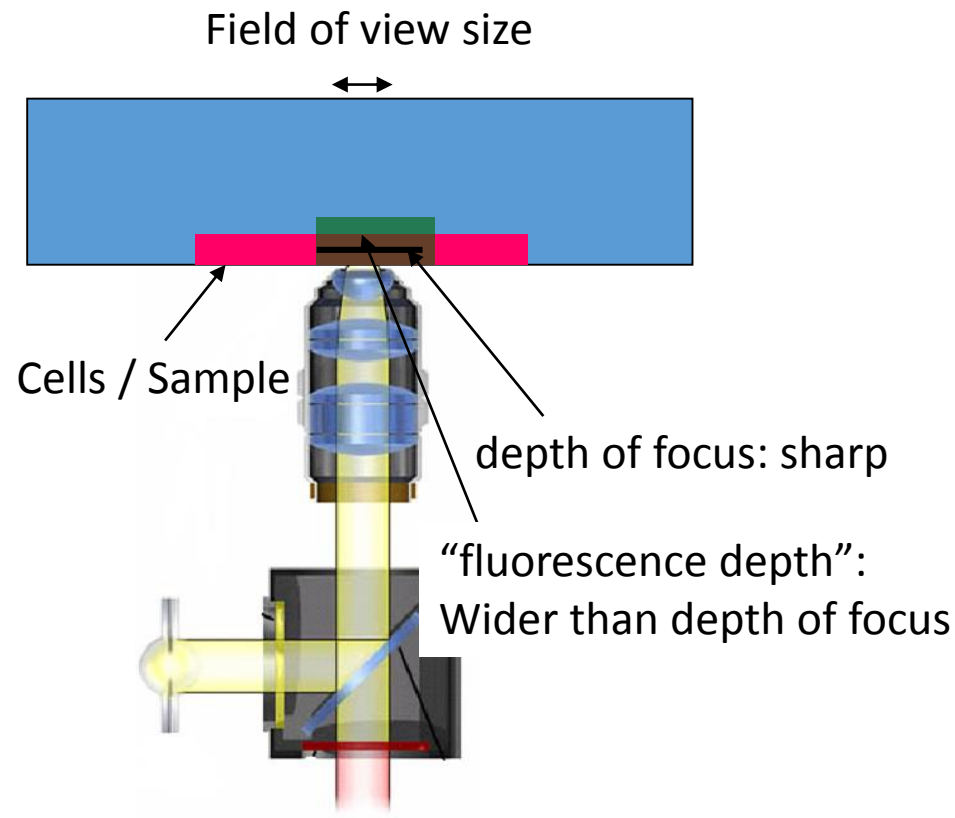


Capteur CCD

100 pix  
noyau



Calculer la taille réelle du noyau?



“Fluorescence depth” wider than depth of focus

## **Le microscope**

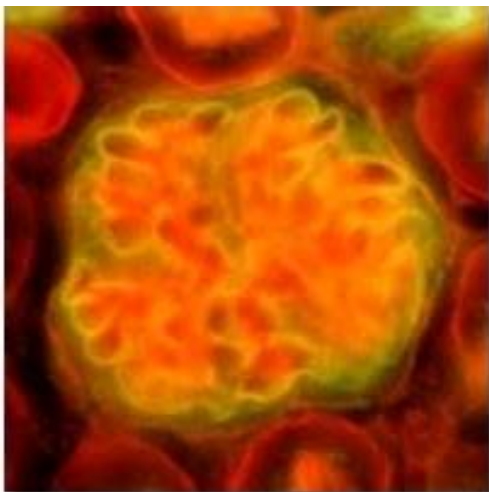
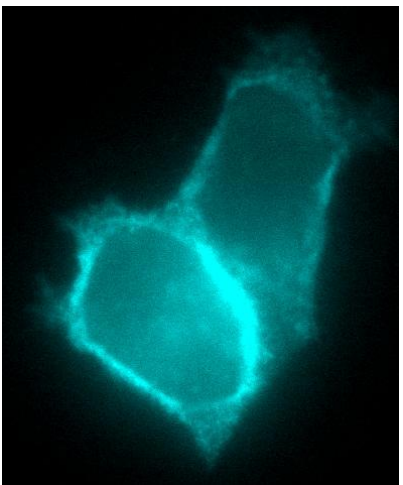
- Les éléments du microscope à fluorescence
- Le microscope (optique, le choix de l'objectif)
- La microscopie plein champ

## **Amélioration de la résolution spatiale**

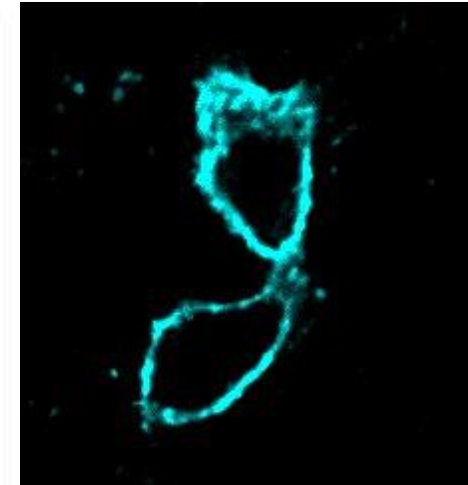
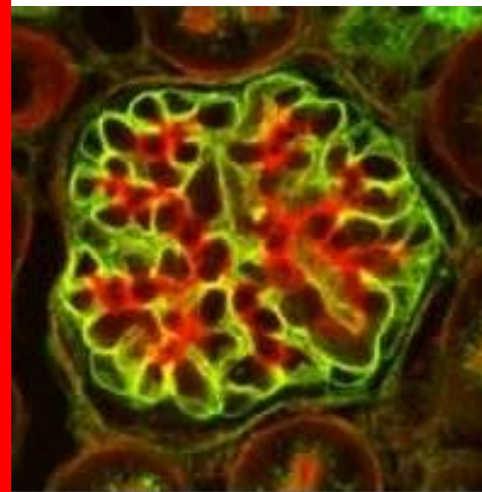
- Confocal (laser scanning, detection)
- Bi-photon
- TIRF
- « Super-resolution »

## Le cas confocal

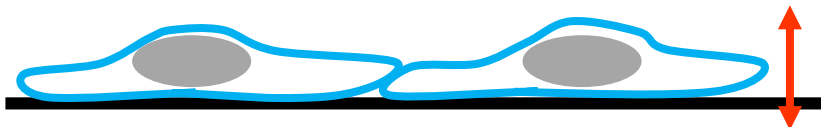
Images plein champ



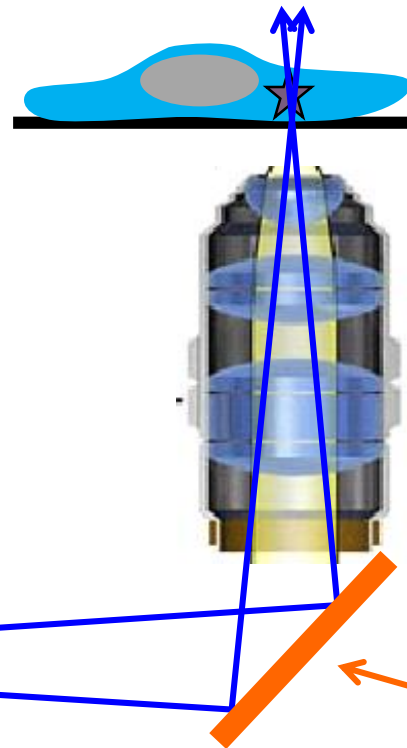
Microscopie confocale



Marquage membranaire

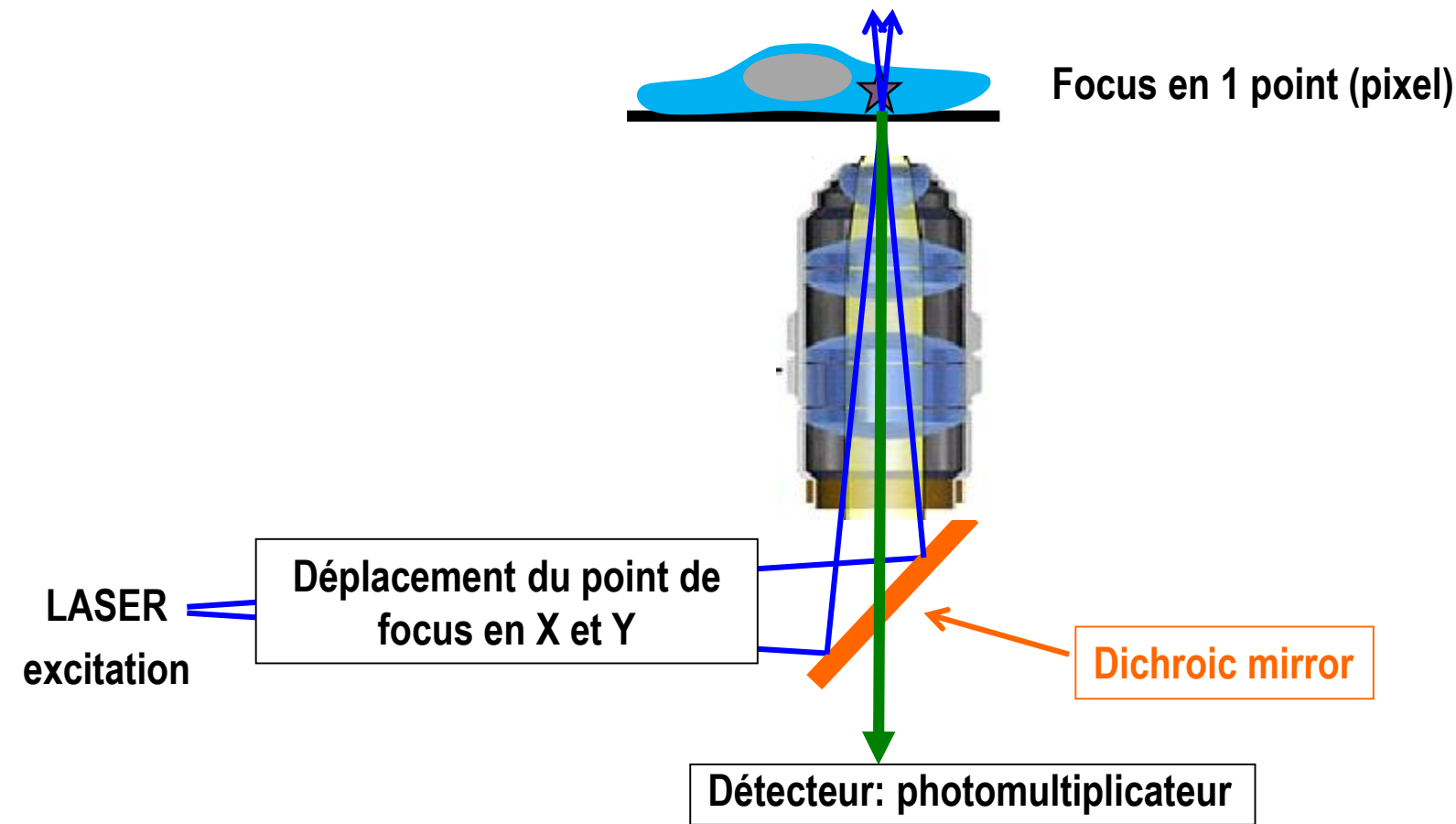


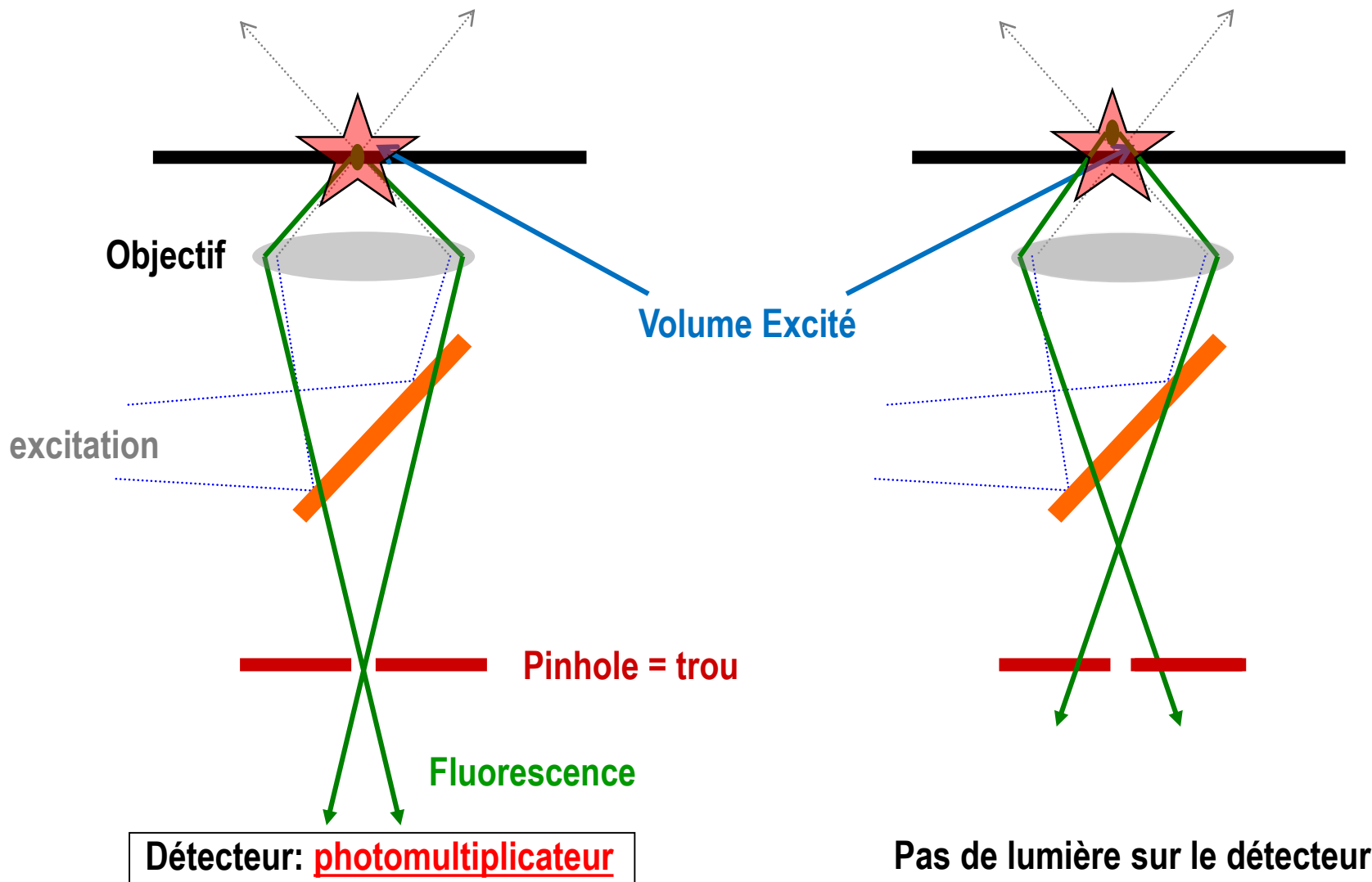
Microscopie plus complexe et donc plus couteuse  
Permet de collecter la fluorescence d'un seul plan



Focus en 1 point (pixel)

Dichroic mirror





Seule la lumière (fluorescence) qui vient du plan focal est détectée

<http://olympus.magnet.fsu.edu/primer/java/confocalsimulator/index.html>

The figure shows a screenshot of a confocal microscopy simulation software. On the left is a 3D reconstruction of a pollen grain, colored green and yellow. To the right is a control panel with various settings:

- Top Panel:** Includes a "Bloquer" icon, a switch between "x2" and "x4" magnification, an "XY Repeat" button, a "Stop" button, and a speed slider labeled "Scan Speed" with options "Fast", "20.0 µs/pixel", "Slow", and "Auto HV".
- Z-Axis Position:** A list of wavelengths with their respective powers:
  - 488 nm: 17.0%
  - 543 nm: 19.0%
  - 633 nm: 13.0%
- Detector Settings:** Four columns for detectors CHS1, CHS2, CHS3, and TD1. Each column has "AutoFI" or "None" status, HV, Gain, Offset controls, and a color selection section. For CHS1, the values are:

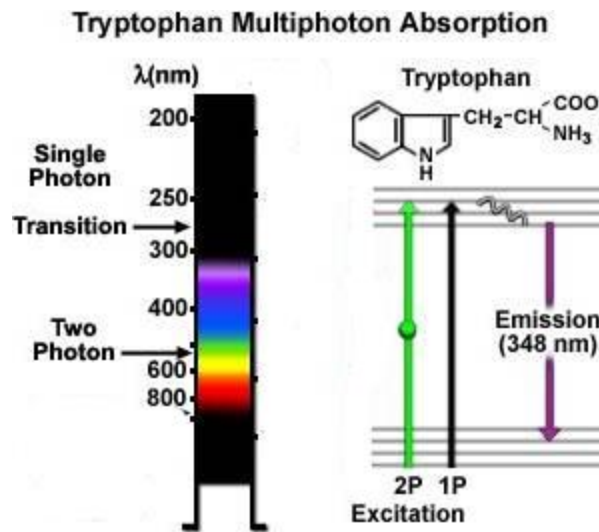
Laser	Ch1 Color	Ch2 Color
488	Green	Red
543	Yellow	Red
633	Grey	Grey
- Preview Window:** A small image showing a cross-section of the pollen grain.
- Bottom Panel:** A large image of the pollen grain with a red line indicating the current Z position.

Annotations point to specific features:

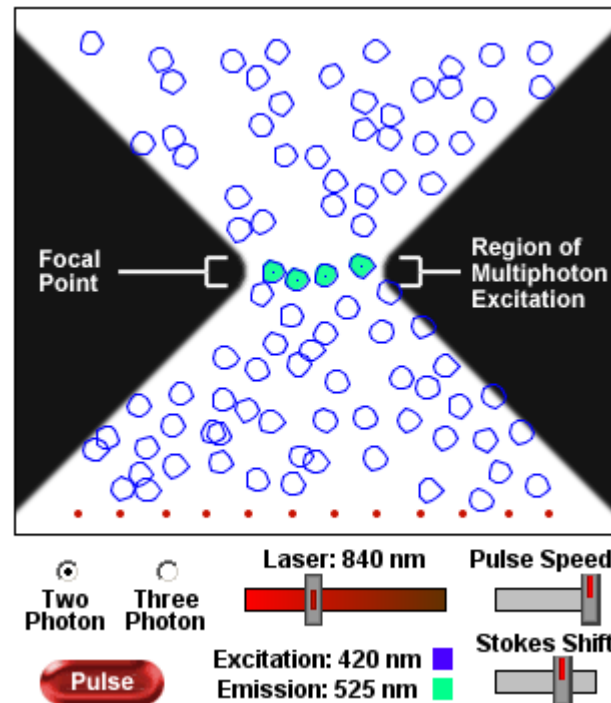
- An arrow points from the "Scan Speed" slider to the text "Pixel dwell".
- An arrow points from the Z-axis power controls to the text "Z position".
- An arrow points from the detector color selection to the text "Laser wavelength and power".
- An arrow points from the bottom panel to the text "Parameters for the detector".

## Le cas de l'excitation bi-photonique

Webb et al., 1990



two photons can be simultaneously absorbed at high photon densities



Excitation source: pulsed laser

All the emitted photons from two photons excitation are used for imaging

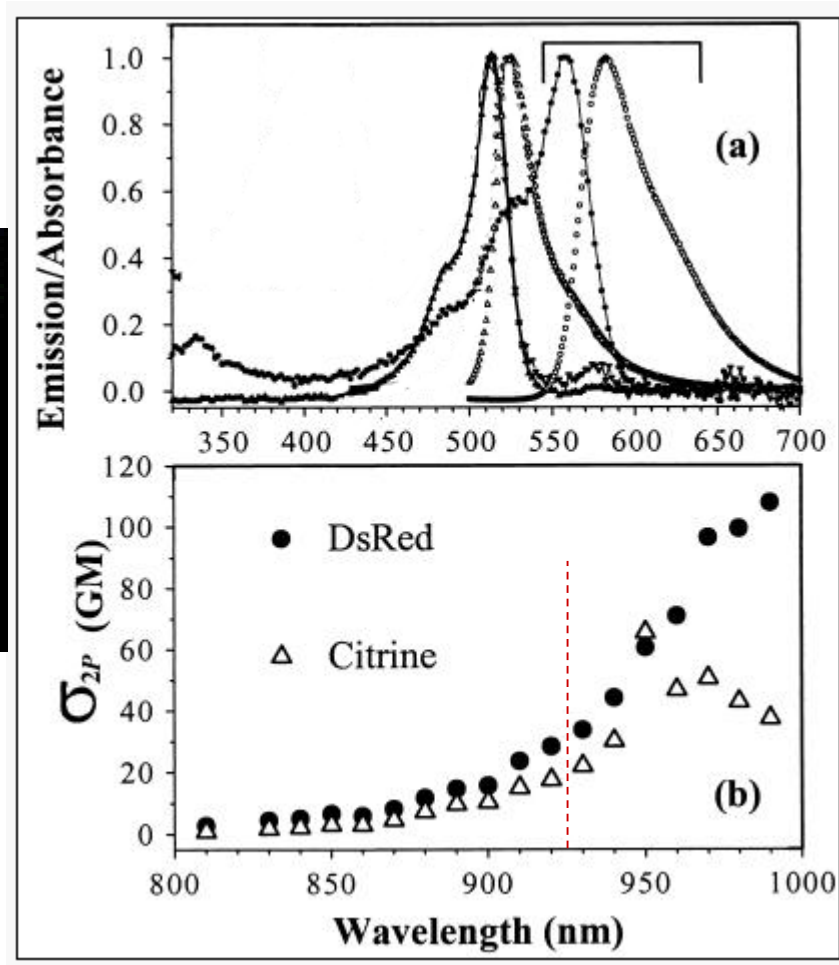
$\lambda_{ex}$  (IR) → IR excitation wavelengths suffer less scattering in living tissue

→ the excitation light easily discard :  $\lambda_{ex}$ (IR) et  $\lambda_{em}$ (vis)

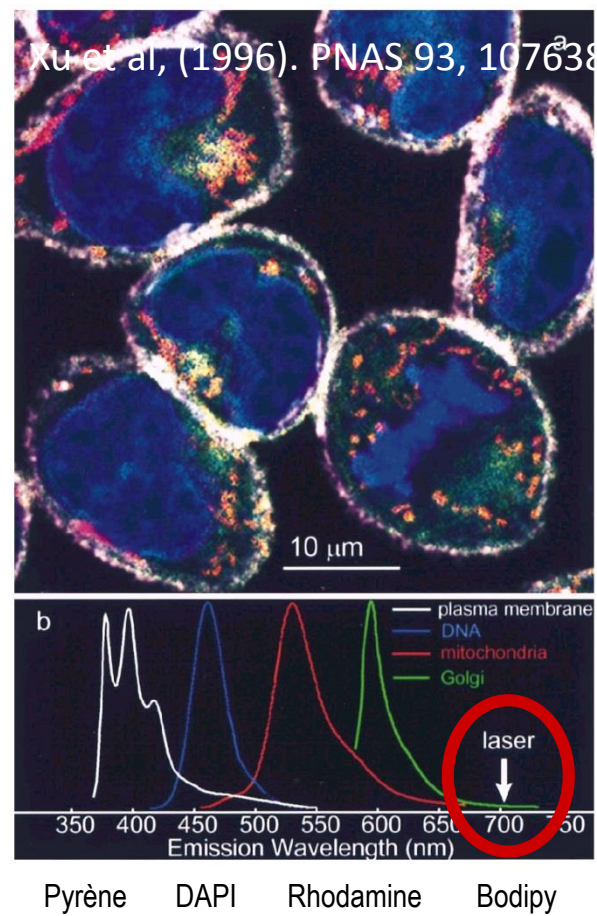
the rate constant of one excitation event

depend upon:

- the square of the excitation intensity
- two photons cross section of the molecule



With one excitation wavelength (700 nm), several fluorophores are observed:

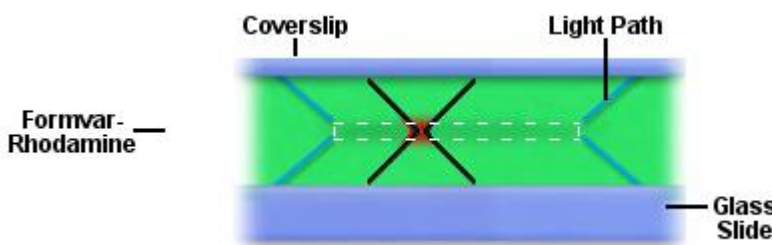


Excitation laser Ti:Saph 120 fs

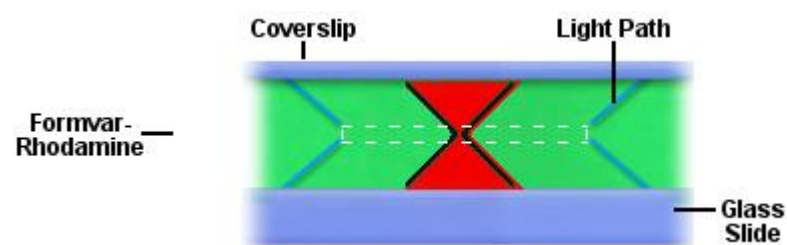
Both techniques:

- pave the way to 3D imaging (stack)
- necessitate high light intensities

- Cai



ng



Sample scanning is a “slow method” for image formation

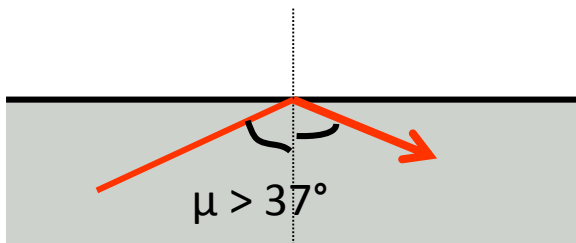
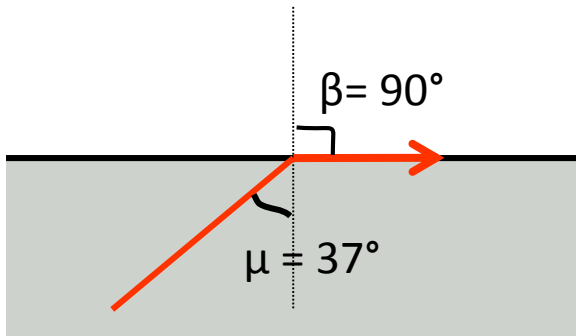
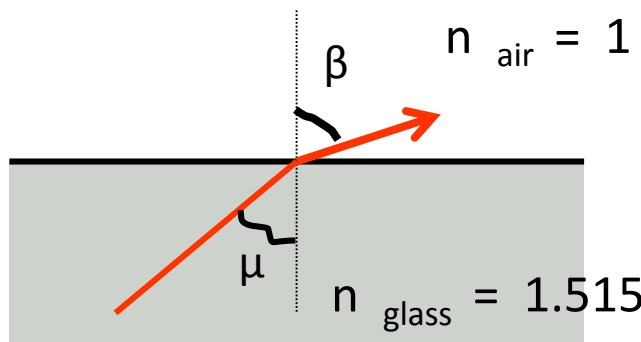
## Le cas TIRFM

Techniques used since 80's to study surfaces and cells-surfaces interactions

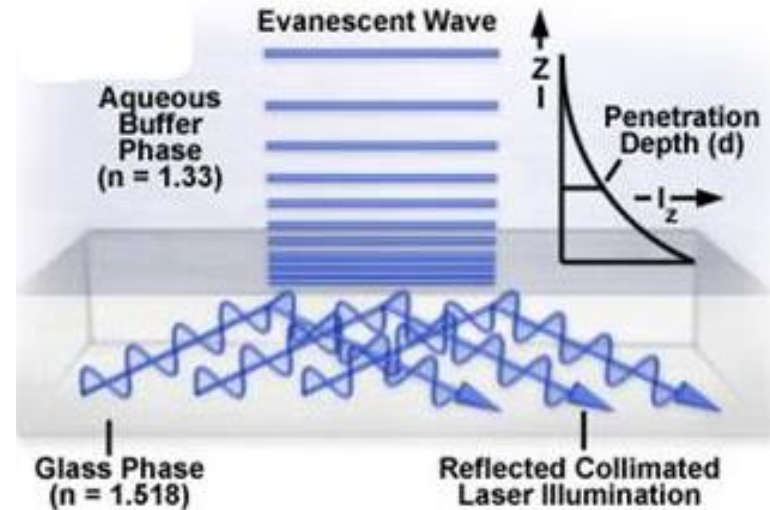
2003-2004: Improvement in optics (objective, miniaturized illumination devices,...)

TIRFM excites fluorescent probes in a restricted specimen region immediately adjacent to a glass-water (or glass-buffer) interface.

$$n_{\text{glass}} \sin \mu = n_{\text{air}} \sin \beta$$



Associate evanescent wave

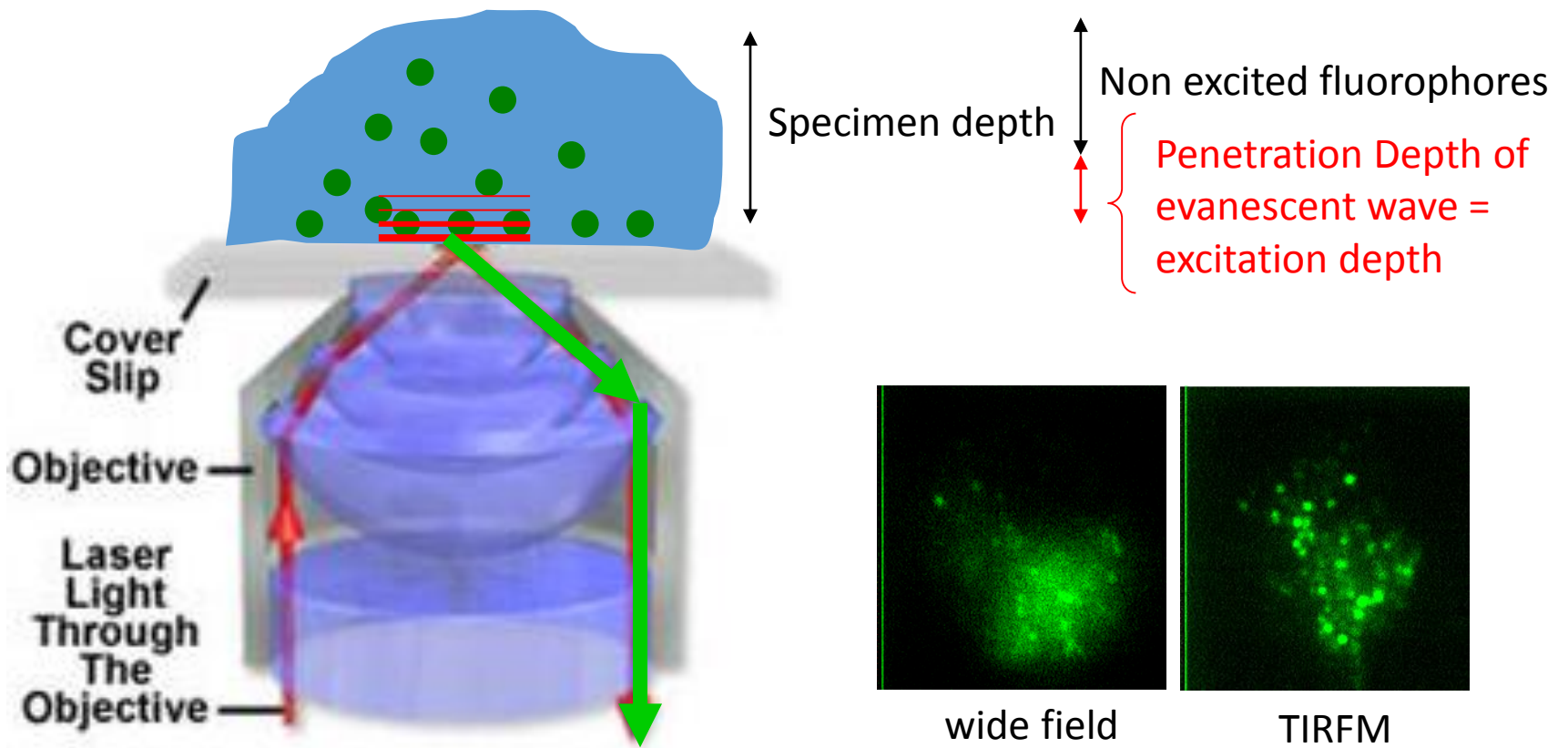


Exponential Intensity Decay

$\mu_{\text{lim}}$  of glass-water interface ( $n_{\text{water}} = 1.33$ ) =  $62^\circ$

$$\text{Penetration Depth} = \frac{\lambda / 4\pi}{(n_{\text{glass}}^2 \sin^2 \mu - n_{\text{water}}^2)^{1/2}}$$

Num. App.  $\Rightarrow$  Penetration Depth = 70 à 300 nm



Example:

<http://www.cellimagelibrary.org/images/12411>

## « Super-resolution »

## Chemistry Nobel Price 2014

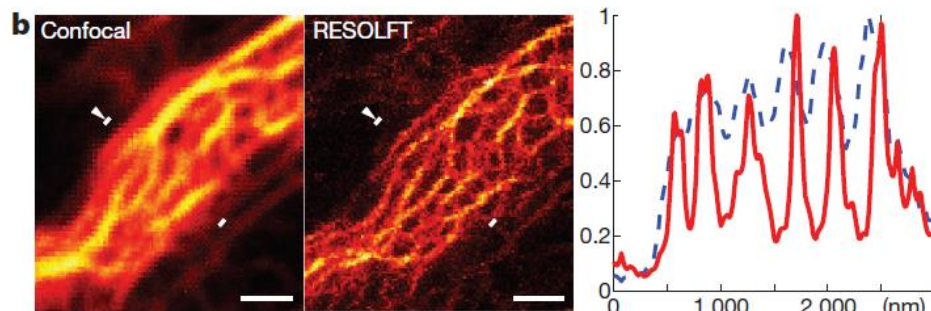
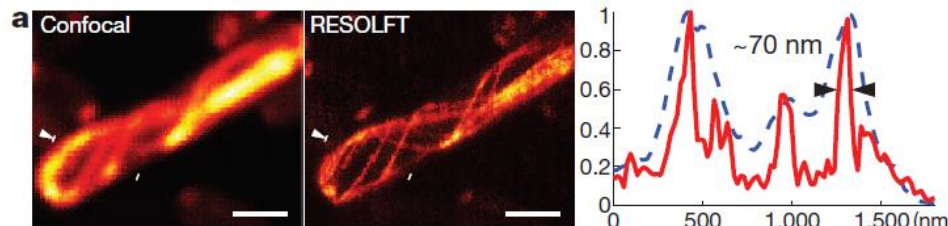


E. Betzig  
S. W. Hell  
W. E. Moerner

“for the development of super-resolved fluorescence microscopy”

tackle the diffraction barrier of  $\sim 200$  nm

- stimulated-emission depletion (STED) microscopy
- structured illumination microscopy (SIM)
- single-molecule localization microscopy (SMLM)



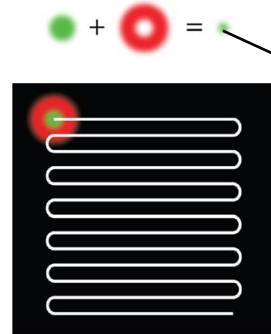
} Excitation light patterns

} Modulation of detected emission over time

E. coli bacterium expressing rsEGFP–MreB (=actine des bactéries)

Mammalian cell expressing keratin-19–rsEGFP

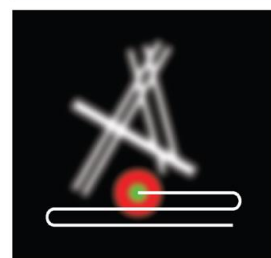
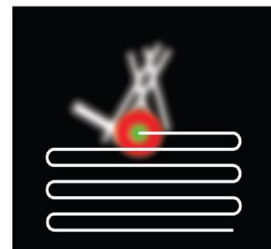
## STED



2 lasers, excitation (diffraction limited) et depletion (stimulated emission, far end of fluorescence spectra)

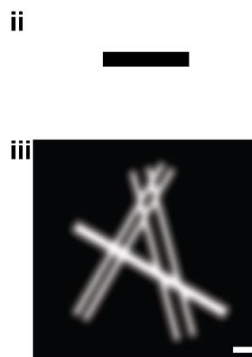
Sub-diffraction scanning beam  
Size fct of the intensity of STED depleting beam:

### Scanning method



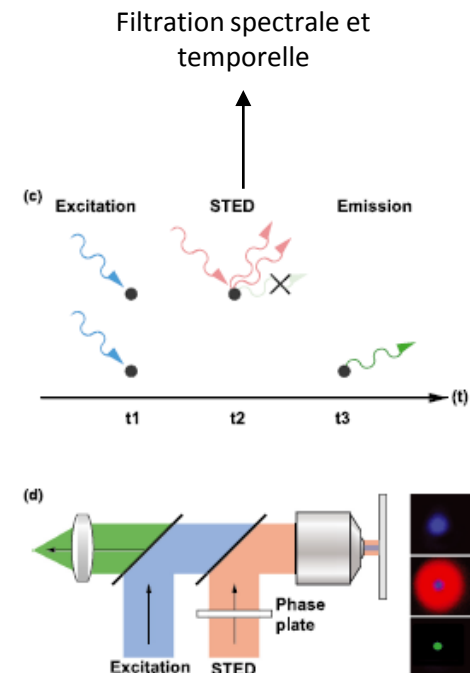
$$d_{STED} = \frac{d}{\sqrt{1 + \frac{I}{I_s}}}$$

### No-post processing



Alternative: RESOLFT  
reversible saturable  
optical (fluorescence)  
transition  
between two states

Turkowyd et al ABC 2016



SMLM



# Photoactivated localization microscopy: PALM



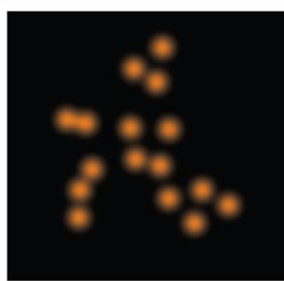
# Stochastic photoswitching of fluorophores



Detection of single spatially separated fluorophores that emit diffraction-limited spots

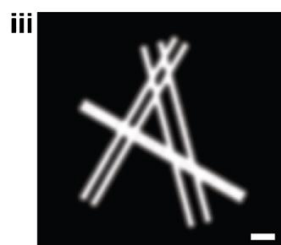
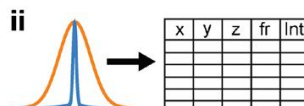


Stack of time-resolved images until all of fluorophores have been read out

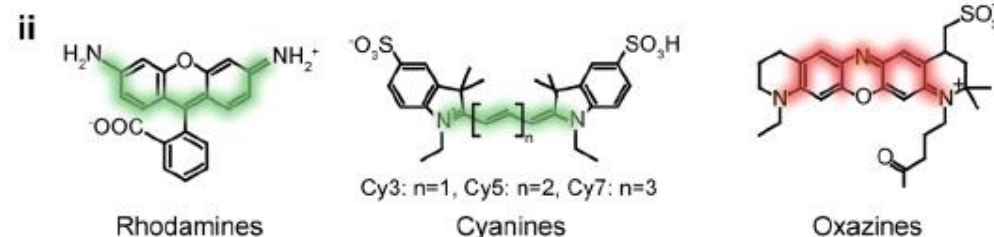
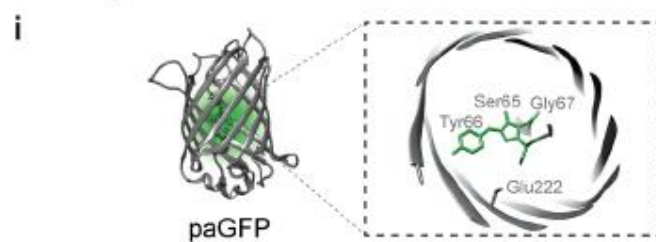


$$d_{SMLM} = \frac{d}{\sqrt{N}}$$

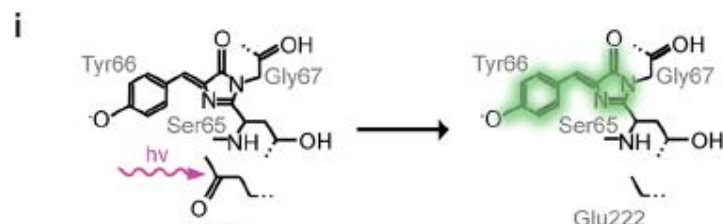
# Complex algorithms for data processing



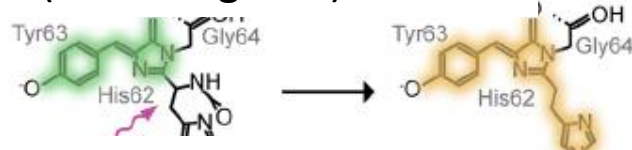
## b Fluorophore structures



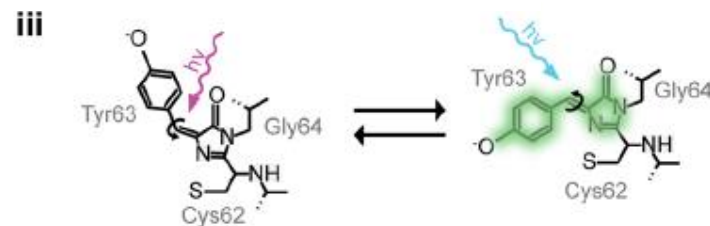
## c Photochemical and photoconformational changes



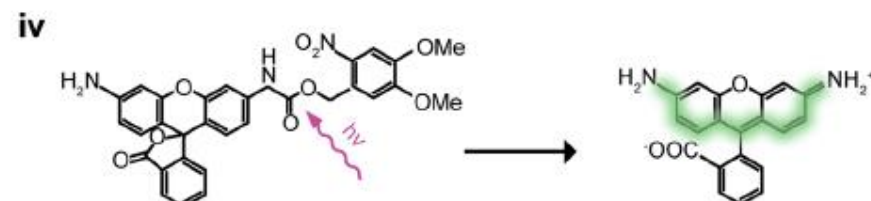
PA-GFP (black or green)



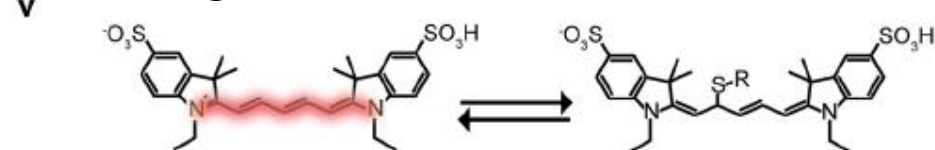
Eos-FP (Green to Red)



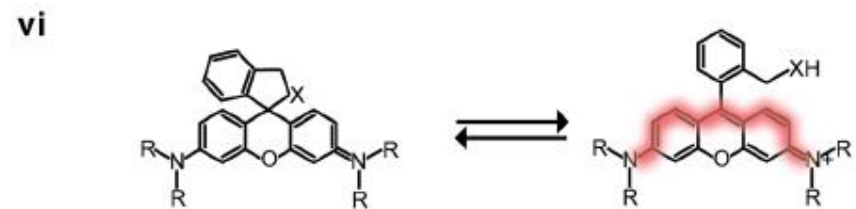
Dronpa (black or green, REV)



Photocaged rhodamine



Reversible quenching by a thiol of Cy5



Reversible cyclization of a rhodamine

## **Le microscope**

- Les éléments du microscope à fluorescence
- Le microscope (optique, le choix de l'objectif)
- La microscopie plein champ

## **Amélioration de la résolution spatiale**

- Confocal (laser scanning, detection)
- Bi-photon
- TIRF
- Super-resolution

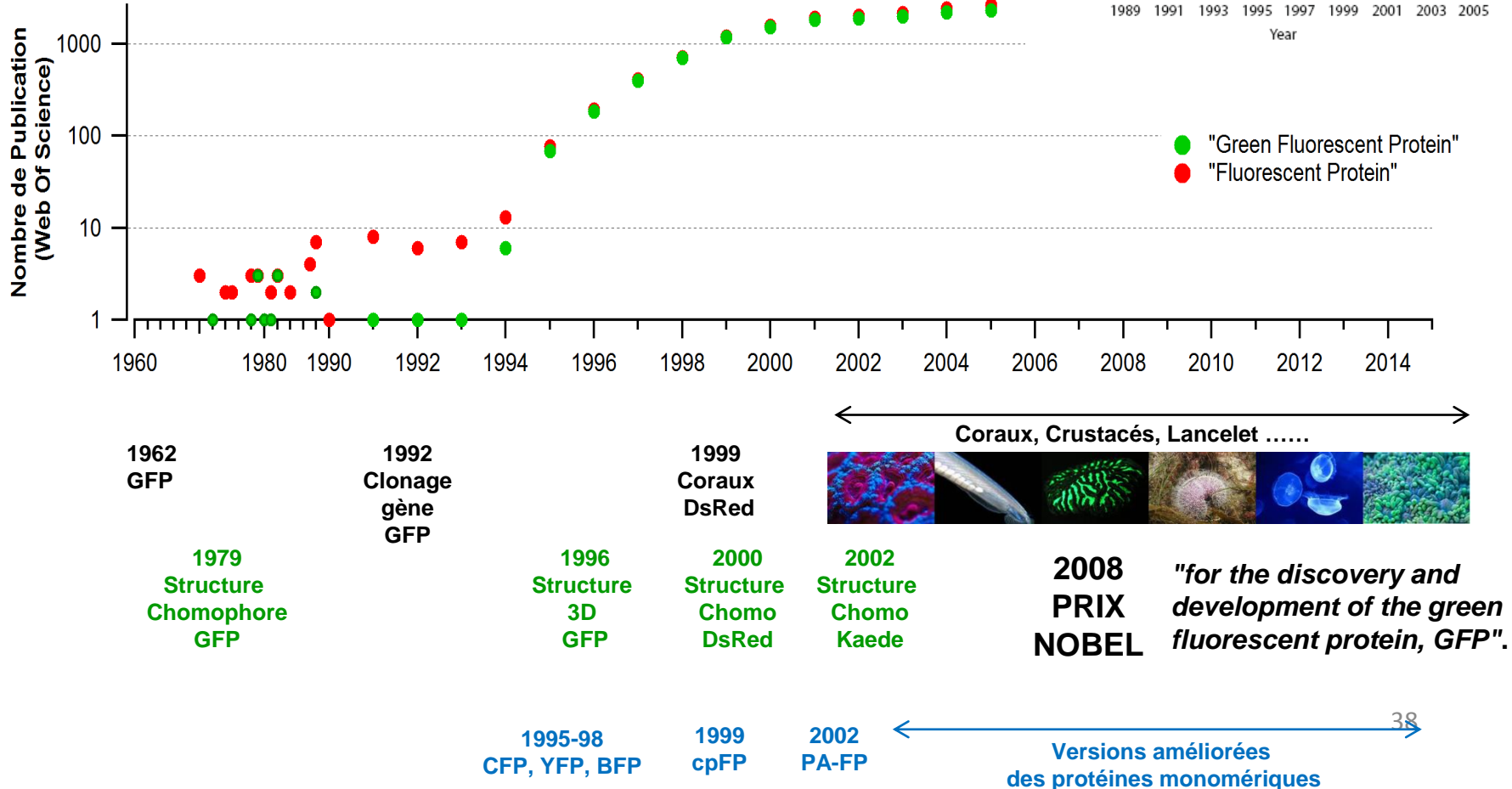
## **La spectroscopie sous microscope**

- FRET (interactions, metabolic activities)
- FLIM (for FRET and dyes specific measurements)
- FCS, FCCS (interactions, structure & reactivity)

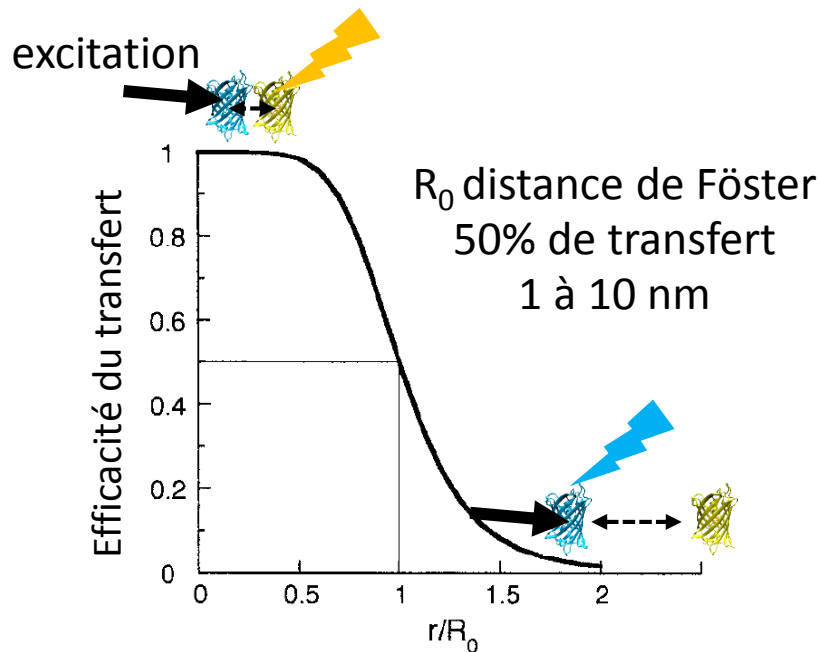
## Le cas du FRET : : Förster Resonance Energy Transfer ou FRET

Step 1 : Gene <-> Protein identification

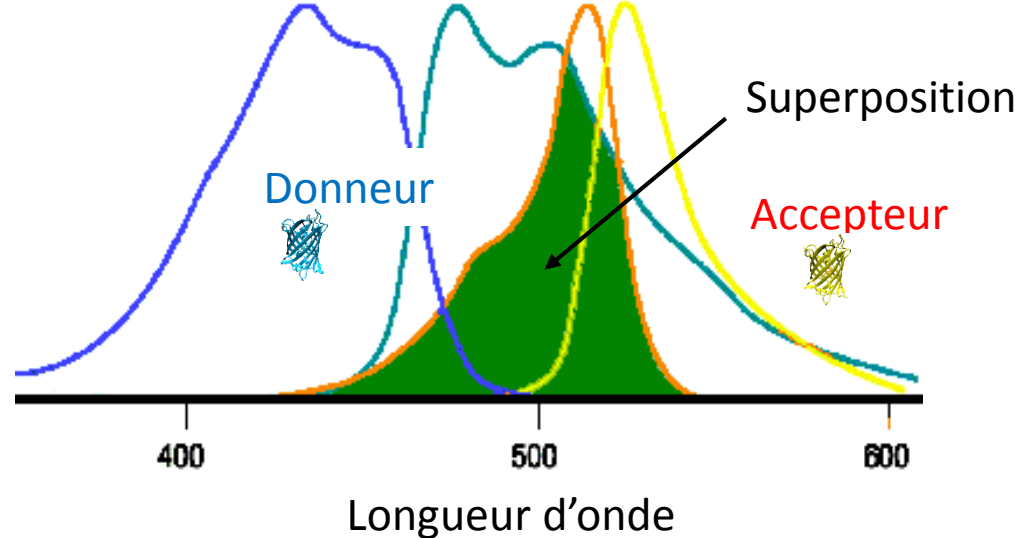
Step 2: Proteome Analysis  
and Protein-Protein interaction determination



Il faut 2 fluorophores: donneur et accepteur



Condition spectrale:

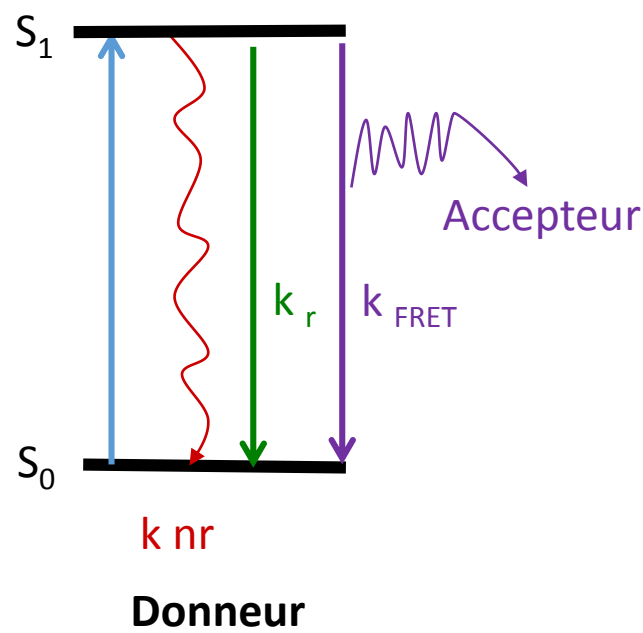


Interaction coulombienne dipôle - dipôle à « longue distance » (1 à 10 nm)

L'efficacité du FRET varie rapidement avec la distance entre le donneur et l'accepteur ( $1/r^6$ )

Mesure de distances / visualisation des interactions entre de macromolécules

## De quoi dépend le transfert d'énergie?



$$k_{\text{FRET}} = \left\{ 0.211 n^{-4} \frac{\Phi_D}{\tau_D} J_{DA} \kappa_{DA}^2 \right\} \frac{1}{r^6} = \boxed{\frac{1}{\tau_D} \left( \frac{R_0}{r} \right)^6}$$

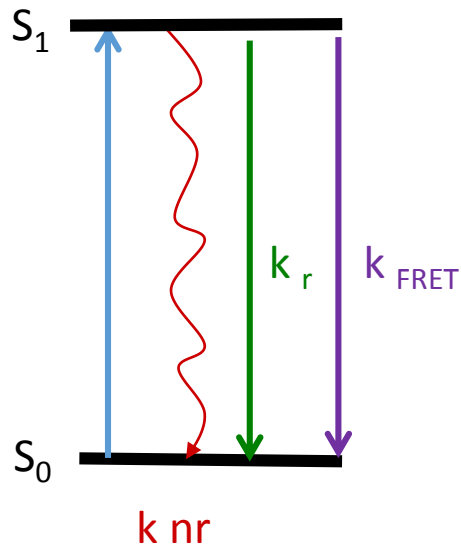
D = donneur seul

DA= donneur en présence d'accepteur

- Propriétés photophysique du donneur,  $\Phi_D$  et  $\tau_D$
- Indice de réfaction du milieu:  $n$
- Surface de recouvrement des spectres:  $J_{DA}$
- Orientation relative du Donneur de l'Accepteur:  $\kappa_{DA}$

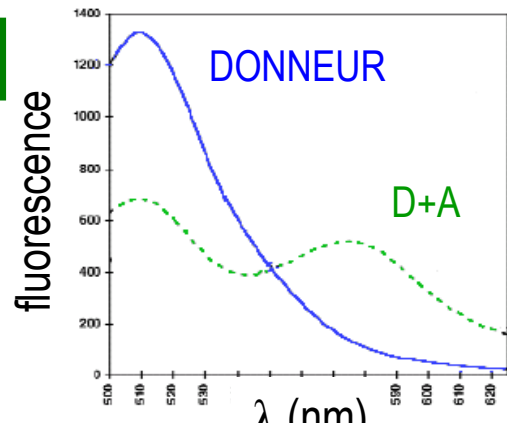
Moments $\perp$	$\kappa^2 = 0$
Moments colinéaires	$\kappa^2 = 4$
Moyenne "rapide"	$\langle \kappa^2 \rangle = 2/3$
Moyenne "statique"	$\langle \kappa^2 \rangle = 0.476$

## Conséquences du FRET?

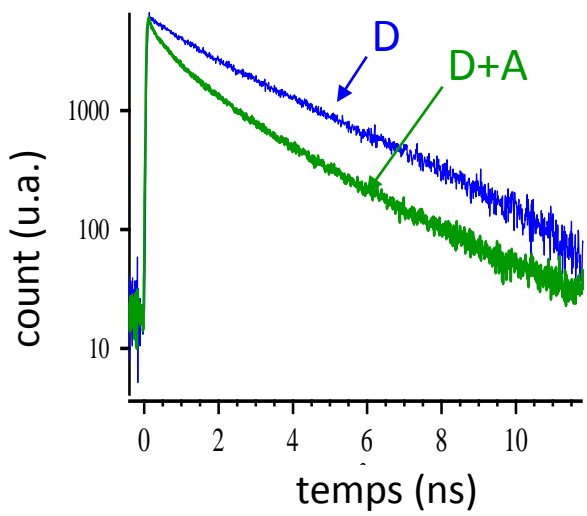


### Excitation du donneur

Intensité



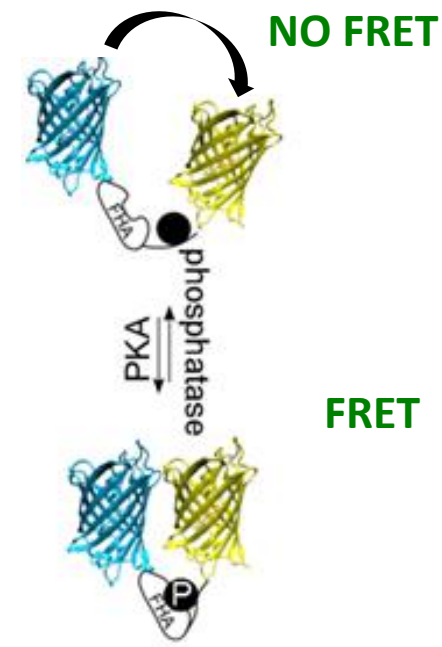
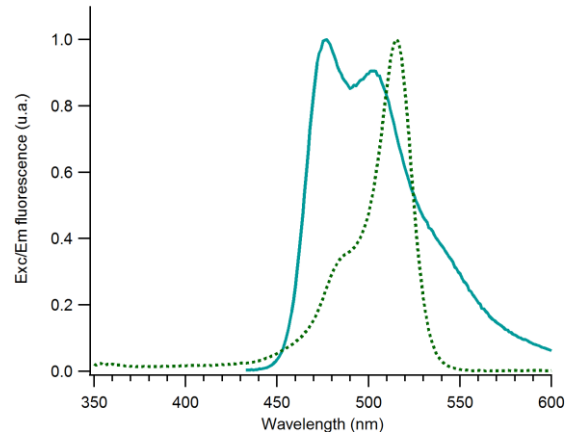
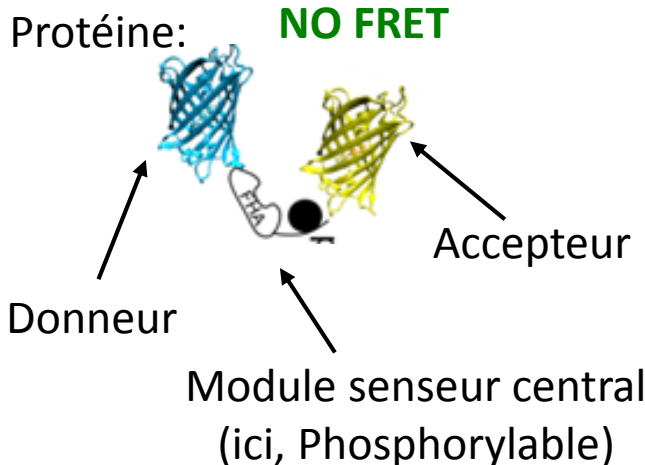
Durée de vie



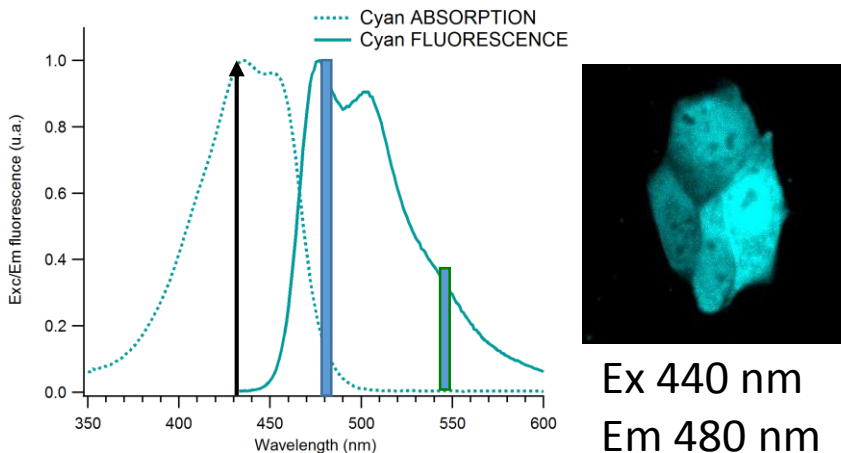
Efficacité du transfert

$$E_{FRET} = \frac{k_{FRET}}{k_r + k_{nr} + k_{FRET}} = 1 - \frac{\phi_{DA}}{\phi_D} = 1 - \frac{\tau_{DA}}{\tau_D}$$

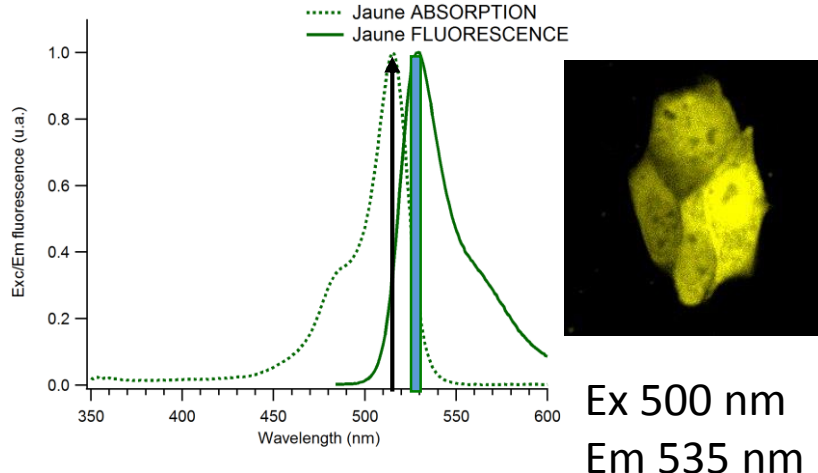
# Exemple biosenseur de FRET , détection en ratiométrie



## NO FRET

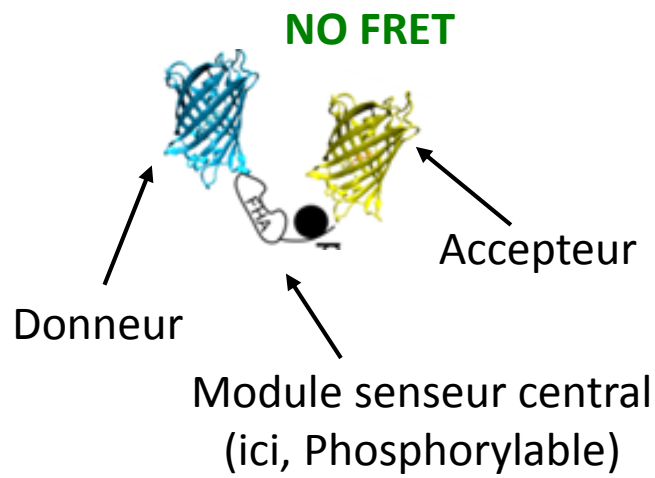


Images plein champ

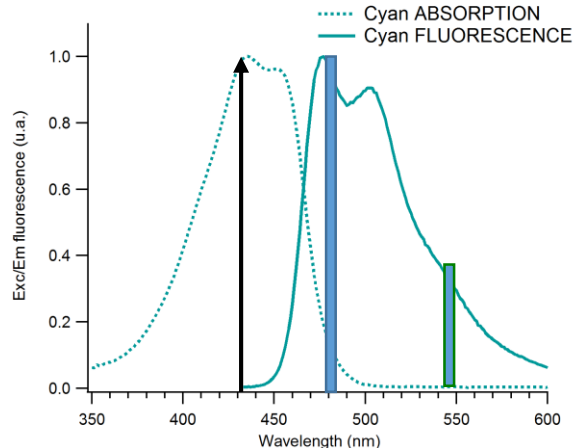


Ex 440 nm  
Em 535 nm

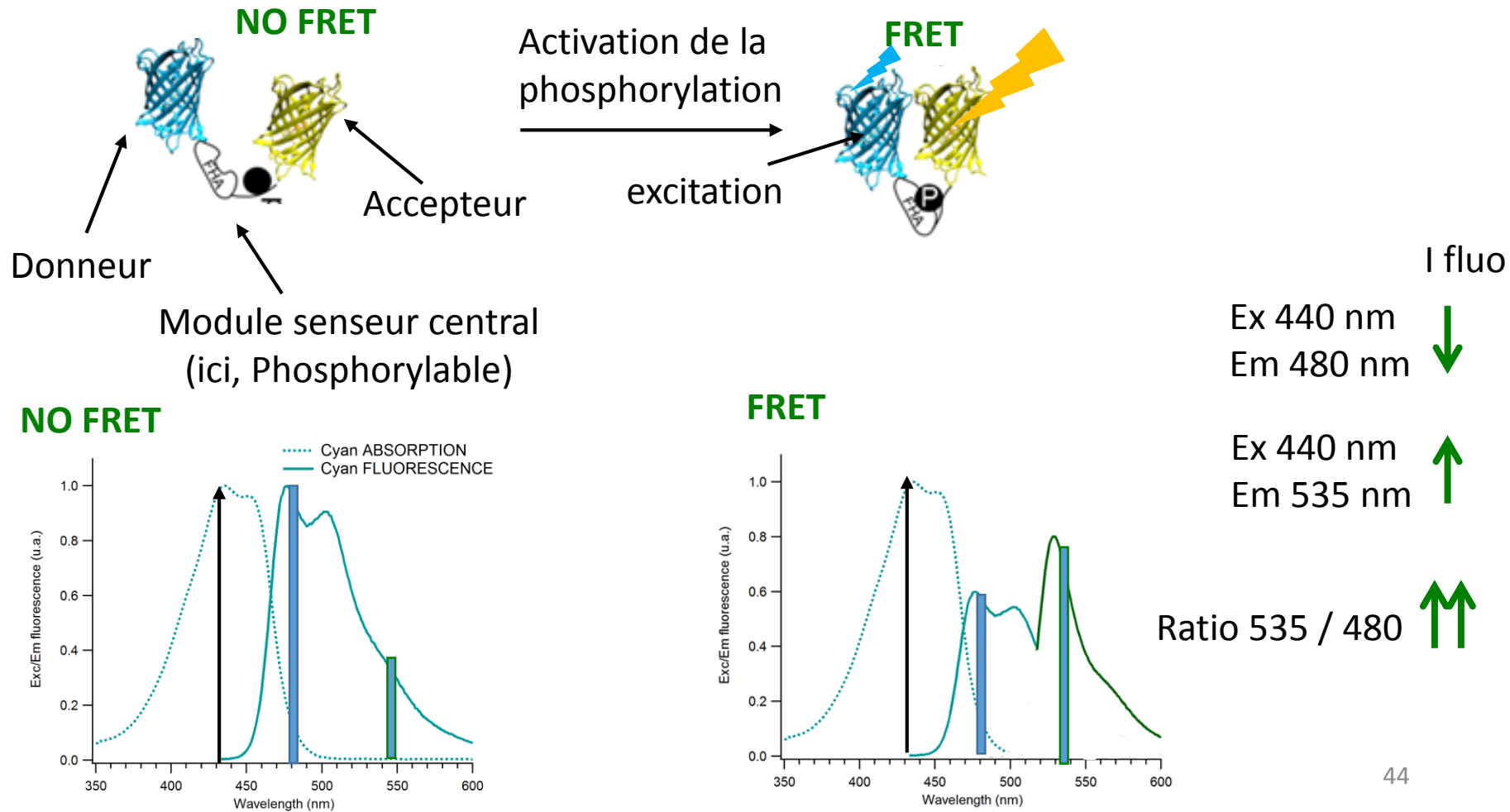
## Exemple biosenseur de FRET , détection en ratiométrie



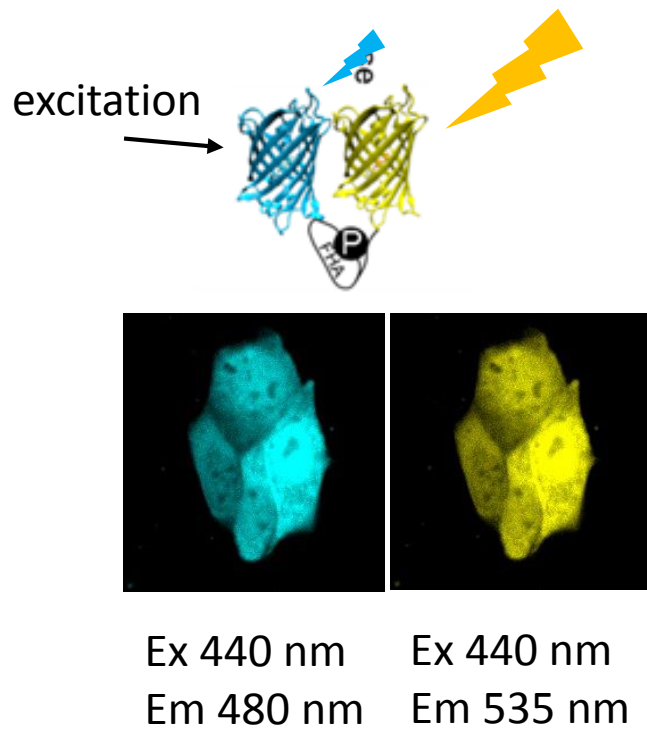
**NO FRET**



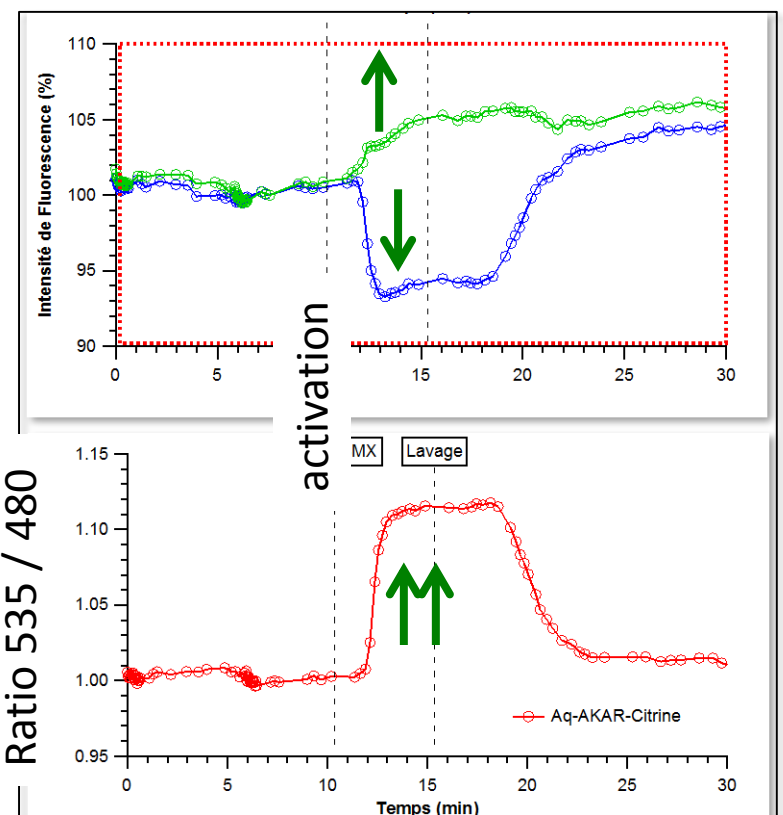
## Exemple biosenseur de FRET , détection en ratiométrie

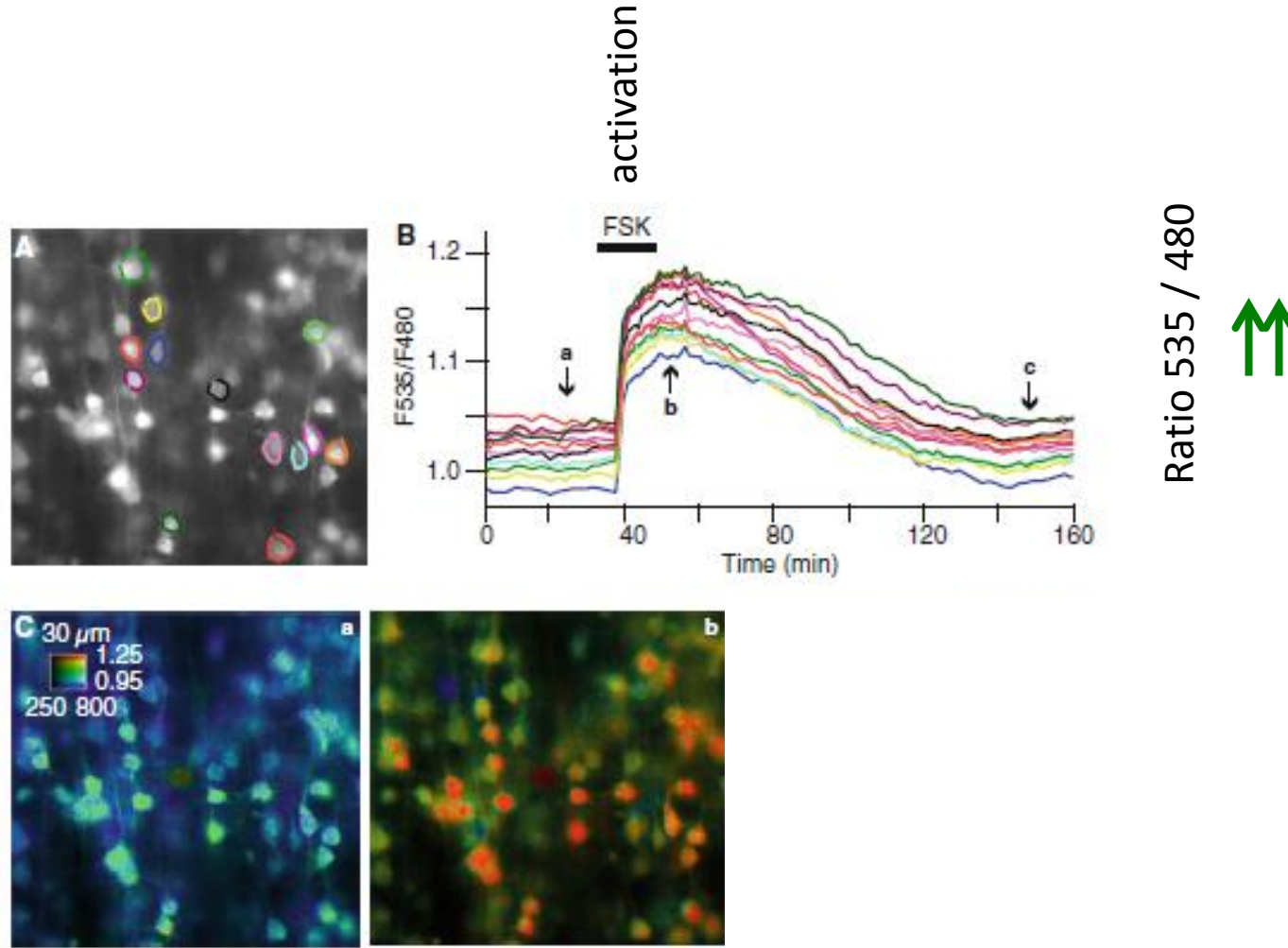


## Exemple biosenseur de FRET , détection en ratiométrie



Intensité  
Ex 440 nm  
Em 480 nm      Ex 440 nm  
Em 535 nm

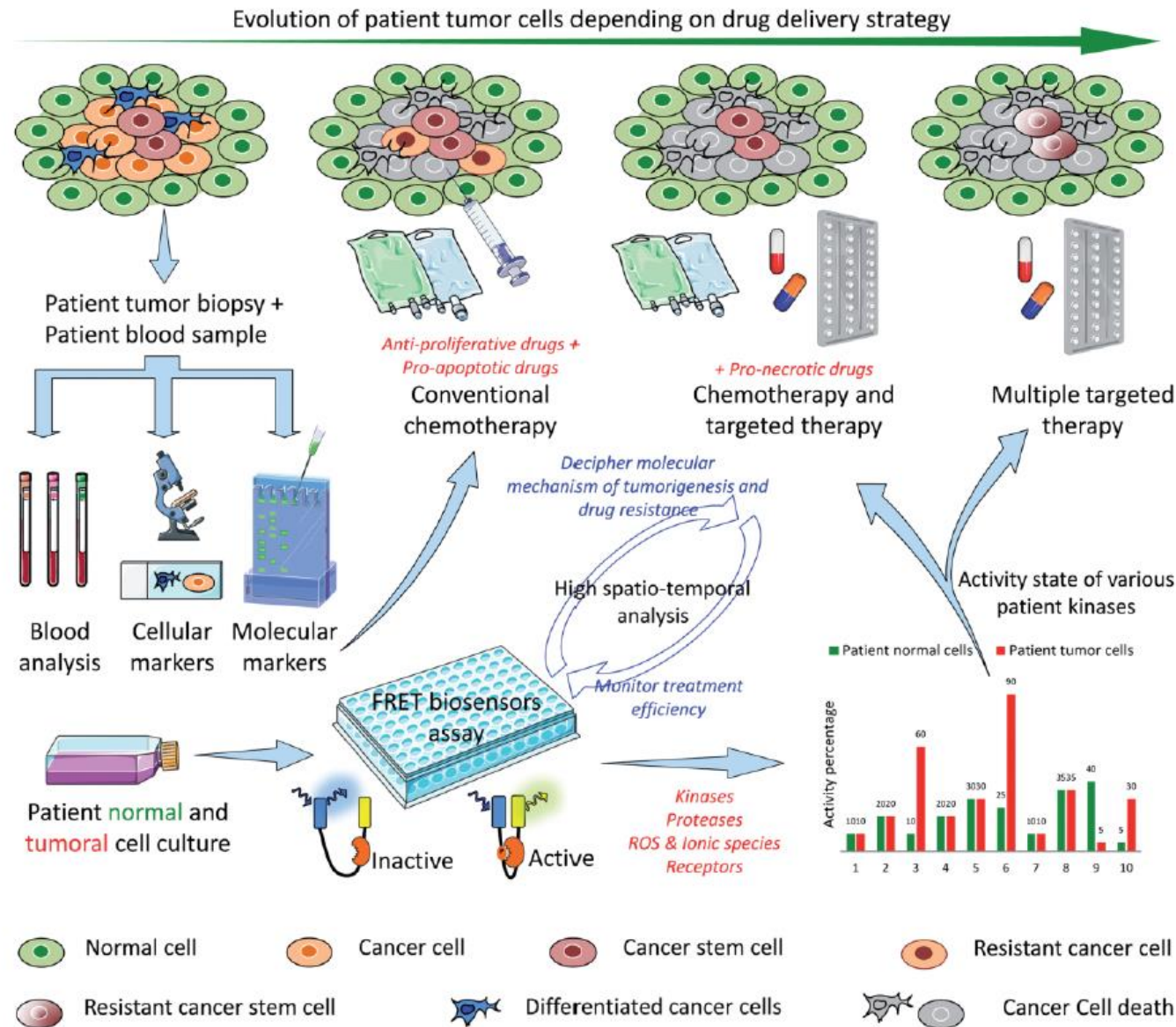




PKA activity in cortical neurons

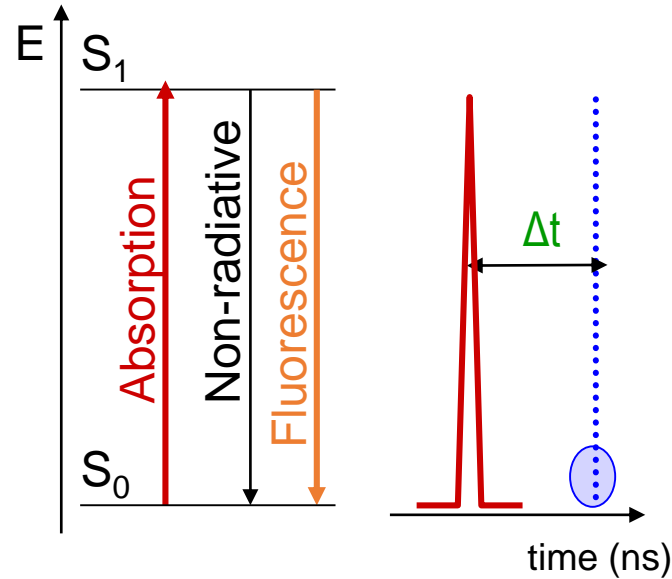
Polito et al Methods in Mol Biol 2016

# Et dans le futur???

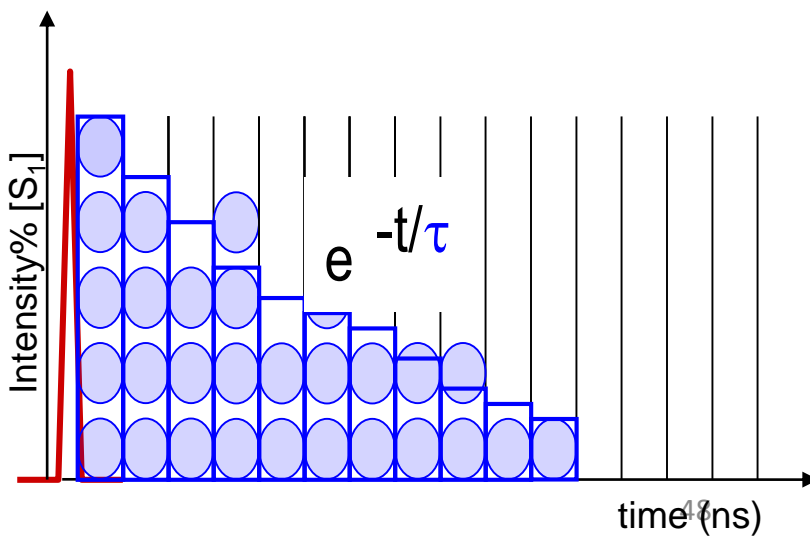


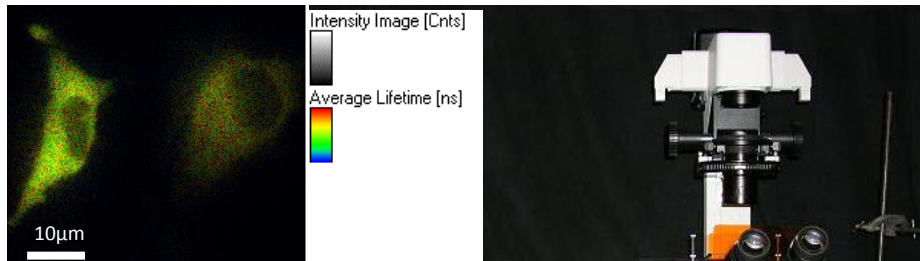
## Le cas du FLIM : : Fluorescence Lifetime Imaging

Pour l'analyse du FRET mais pas que....

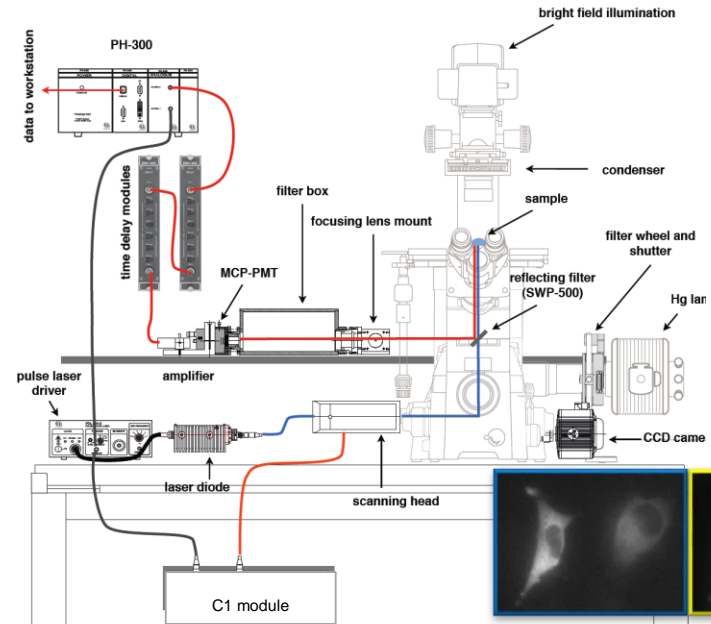
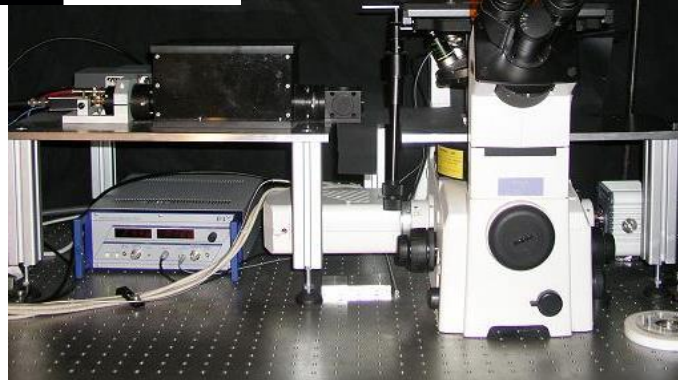


- Independant of concentration
- Strongly dependant of environement
- Highly reliable



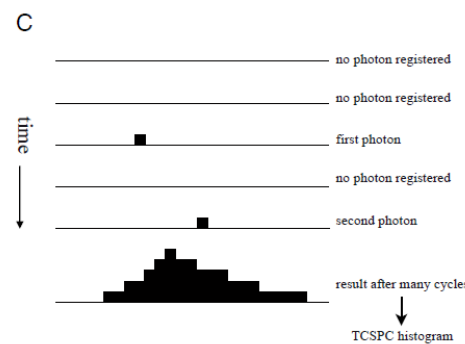
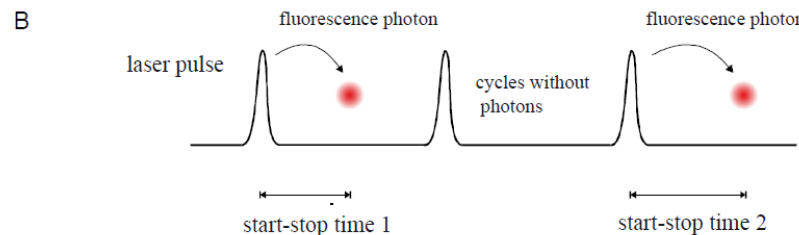


FLIM-TCSPC  
ROI: DECLIN

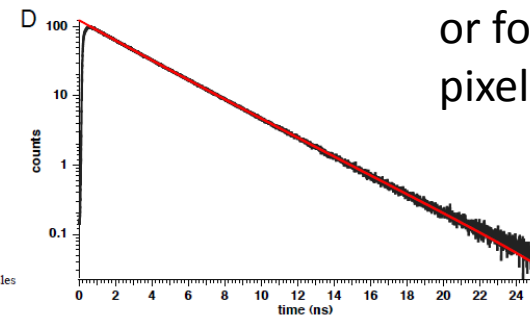


## Principe de la mesure:

Laser scanning microscope



Decay in 1 pixel  
or for several  
pixels ....



## Mais à quoi correspond le signal final obtenu ?

Déclin expérimental  $I_{\text{exp}}(t)$  = le déclin d'émission de fluo de l'échantillon distordu par l'optique et l'électronique du système !!

Causes de distorsions possibles :

- Dérives et instabilités de la source d'excitation ion
- Dispersion et variation des trajets optiques dans les monochromateurs
- Retards induits par la traversée de filtres d'atténuateurs, de polariseurs
- Longueur et dispersion des trajets optiques dans la cuve de l'échantillon dépendantes de la géométrie, de la densité optique, de la turbidité et des réflexions internes
- Réflexions parasites sur tous les dioptres
- Réponses du photomultiplicateur dépendantes de la longueur d'onde
- Dérives et instabilités de l'électronique
- ...

Prise en compte de certaines de ces perturbations dans la fonction d'appareil  $g(t)$  (= lumière diffusée par une solution diffusante)

$g(t)$  = profil de l'impulsion d'excitation distordue par toute l'électronique et l'optique du système

$$I_{\text{exp}}(t) = g(t) \otimes I(t)$$



Déclin d'émission de fluorescence de l'analyte

## Ajustement des données

En pratique,  $I_{\text{calc}}(t) = g(t) \otimes I_{\text{theo}}(t)$        $\xleftarrow{\text{comparaison}}$        $I_{\text{exp}}(t) = g(t) \otimes I(t)$

Qualité de l'ajustement :

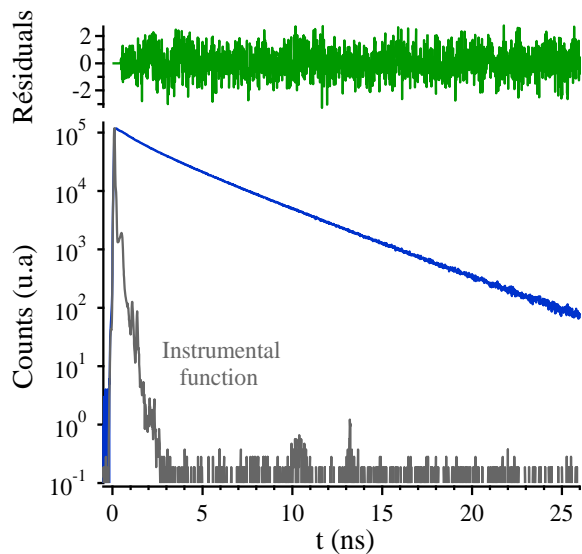
- $\chi^2 = \frac{1}{N} \sum_i \frac{1}{\sqrt{I_{\text{exp}}(t_i)}} [I_{\text{calc}}(t_i) - I_{\text{exp}}(t_i)]^2$

Valeur la plus faible, proche de 1

- Courbe des résidus pondérés

$$\text{Residu}(t_i) = \frac{|I_{\text{calc}}(t_i) - I_{\text{exp}}(t_i)|}{\sqrt{I_{\text{exp}}(t_i)}}$$

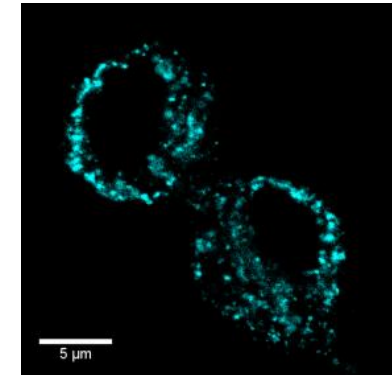
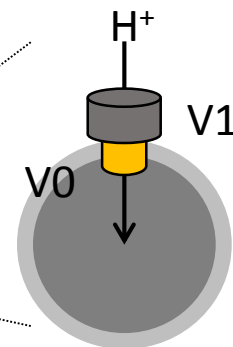
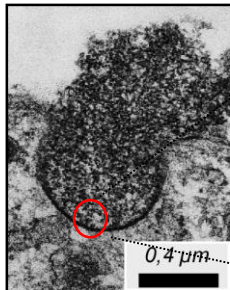
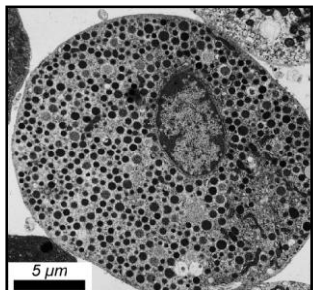
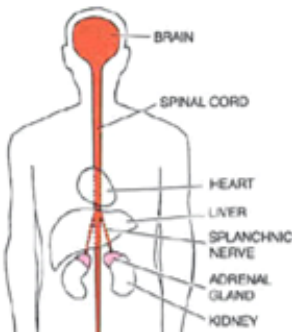
Le plus aléatoirement distribué autour de 0



Déclin d'émission de fluorescence de la CFP (bleu).  
Courbe de résidus obtenue en ajustant le déclin par un modèle multiexponentiel.

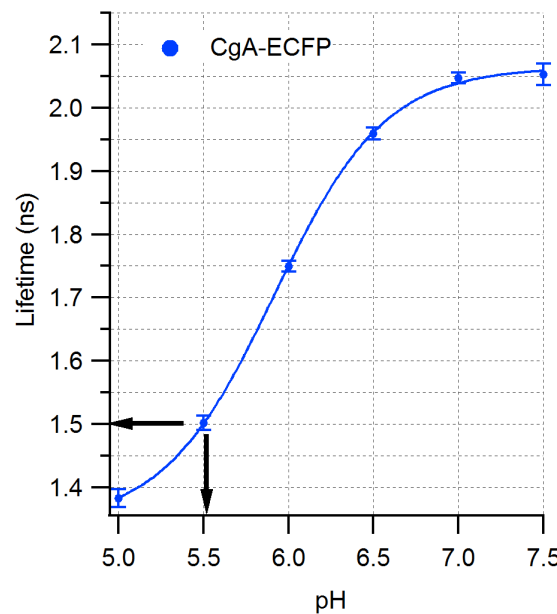
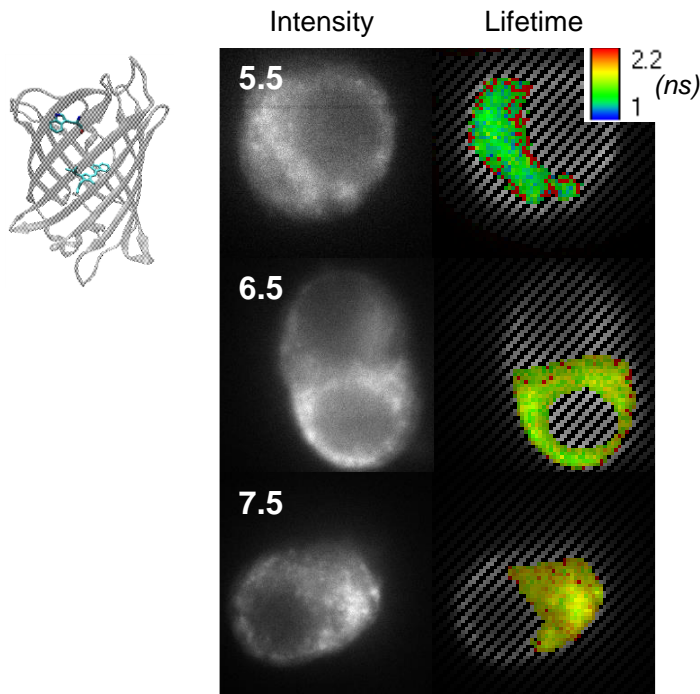
H . Pasquier et al., 2008, Biochemistry

La déconvolution n'est pas toujours possible ou nécessaire...

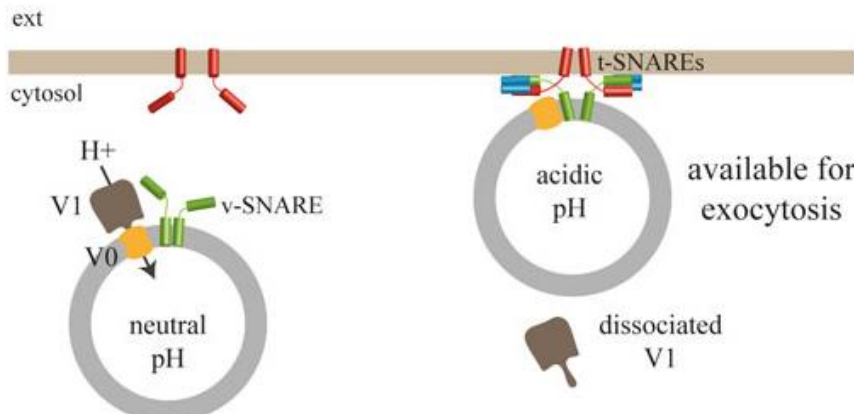
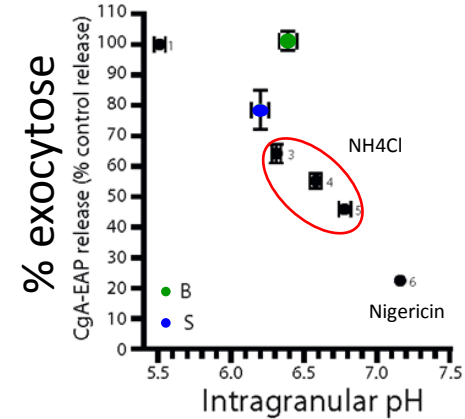
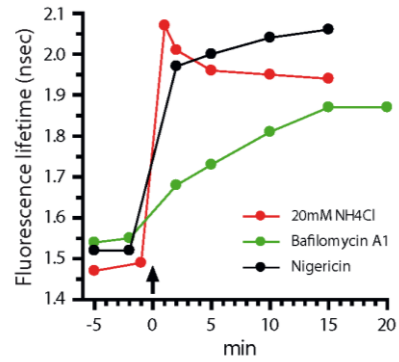
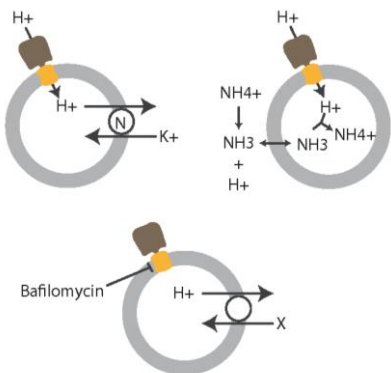


10000 vésicules "dense-core"

Fox et al *Cell Tissue Res.* 1996

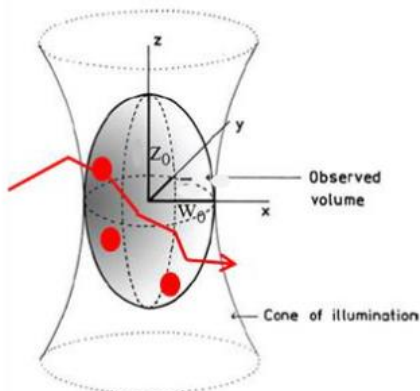


Poea Guyon et al *Anal Bioanal Chem* 2013

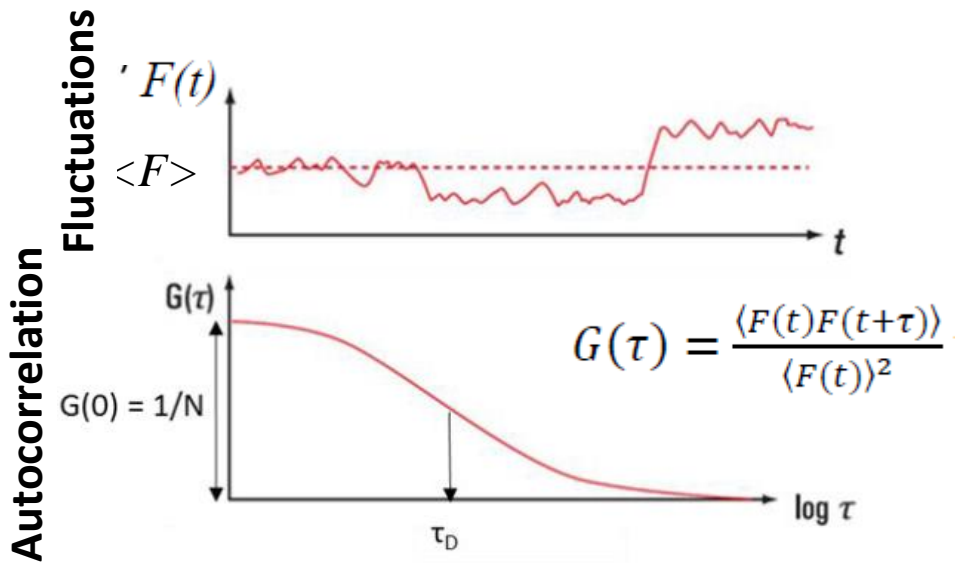


## Le cas du FCS, FCCS : : Fluorescence (Cross-) Correlation Spectroscopy

- Diffusion (taille, mono-multimères) & concentration
- Réactivité (constantes de vitesse)

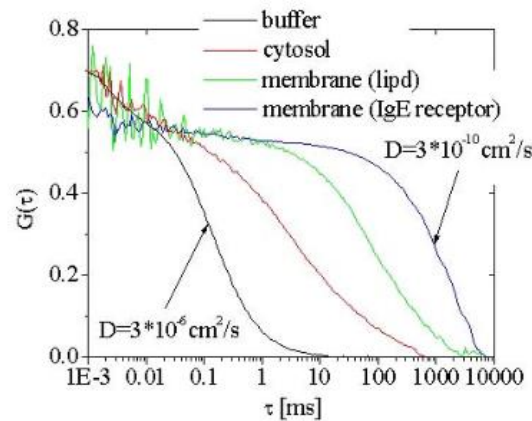
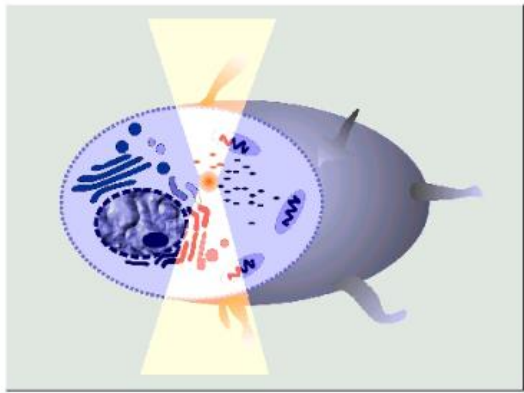


0,1 à 0,3 fL

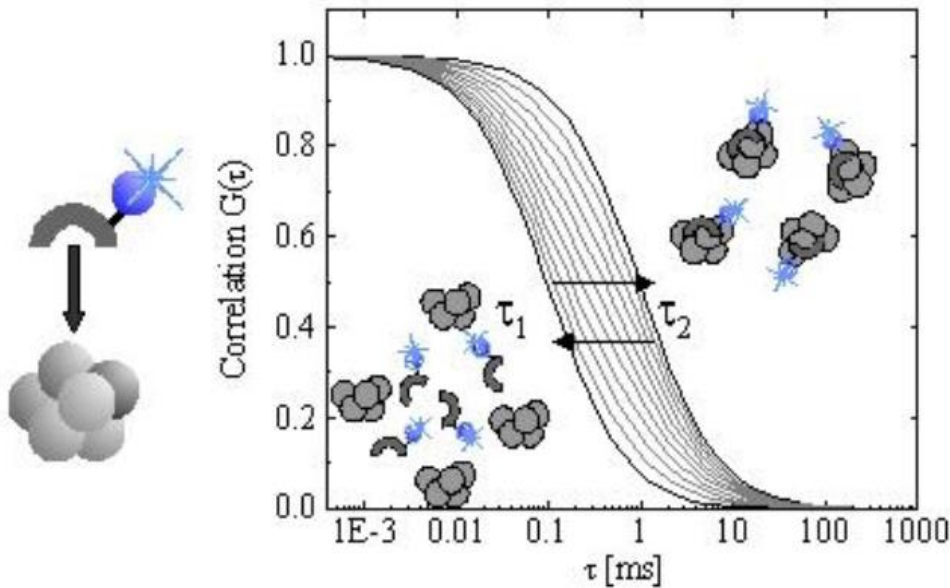


$$C = \frac{N}{N_A \cdot V_{obs}} = \frac{N}{N_A \cdot \pi^{\frac{3}{2}} \cdot z_0 \cdot \omega_0^2}$$

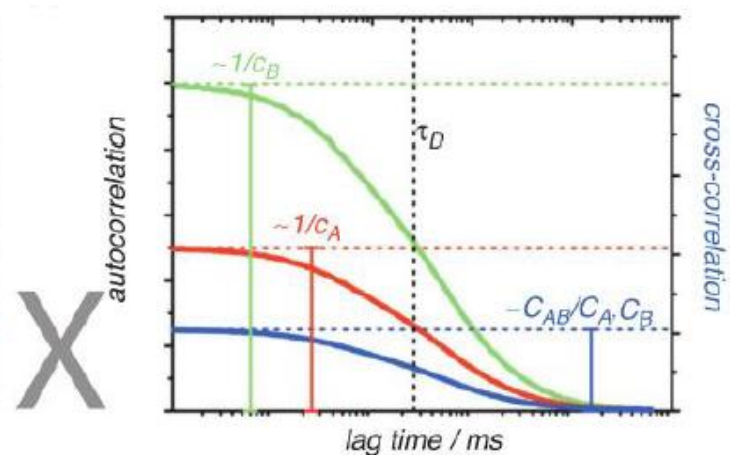
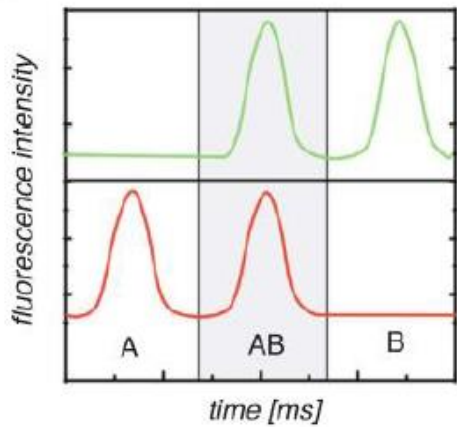
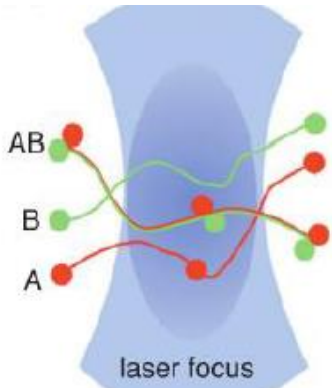
$$D = \frac{\omega_0^2}{4\tau_D}$$



**Figure 15: Various autocorrelation curves demonstrating the enormous difference in motility between buffer solution and cytosol**



**Figure 16: Changes in diffusion time of a small ligand upon binding to a heavy protein**



$$C_A = \frac{1}{G_A(0)} \frac{1}{N_A} \frac{1}{V_A}$$

$$C_B = \frac{1}{G_B(0)} \frac{1}{N_A} \frac{1}{V_B}$$

$$C_{AB} = \frac{G_{cross}(0)}{G_A(0) \cdot G_B(0)} \frac{1}{N_A} \frac{1}{V_{cross}}$$

+ les coefficients de diffusion!!!

=> Permet d'accéder aux constantes d'équilibre dans les cellules, en théorie!

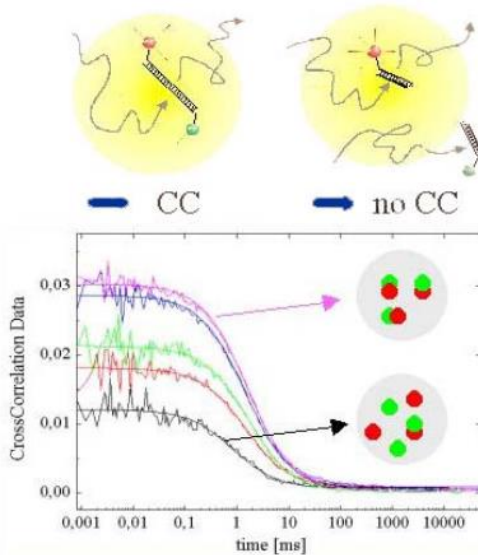


Figure 18: Cross-correlation measurement